

Research Paper

Structural Analysis of Islamic era Glazed Pottery in Anahita Kangavar Temple Based on Petrographic Results

Fataneh Rahimi¹, Maryam Kolbadinejad^{2,*}, Mohammad Mortezaei³

1. PhD Candidate in Archaeology, Department of History and Archaeology, Central Tehran Branch, Islamic Azad University, Tehran, Iran
 2. Assistant Professor, Department of History and Archaeology, Central Tehran Branch, Islamic Azad University, Tehran, Iran
 3. Associate Professor, Institute of Archeology, Institute of Cultural Heritage and Tourism (RICHT), Tehran, Iran
- * Correspondence: Maryam.kolbadi@gmail.com



Abstract

The Anahita Kangavar Temple is considered one of the most significant sites in the west of Iran, and it has always attracted the attention of historians and geographers of the Islamic period, as well as European travelers and archaeologists. At this site, there is a stone building from the historical period, where archaeological excavations have been carried out since 1968. Therefore, the Islamic glazed pottery of the site has been less researched, and so far no petrographic laboratory study has been conducted on the construction methods and mineralogical structure of the Islamic pottery from this site. In this research, the main question is: what are the structure and texture of the glazed pottery of the Islamic era at the Anahita Kangavar Temple, based on petrographic results, and how much did their mineralogical structure change from the middle to late Islamic period? This laboratory research is dedicated to the study of 12 pottery pieces related to the middle to late Islamic period from the Anahita Temple in Kangavar, with the aim of identifying the construction methods and mineralogical components of these artifacts. The petrographic results of these 12 pieces of glazed pottery from the Islamic period revealed that, in terms of texture or petrofabric, the samples exhibit heterogeneous (porphyritic) and silty (fine-grained) textures, with some samples also displaying heterogeneous silty textures. Quartz minerals are abundant in all samples. This mineral is generally present in the form of phenocrysts or single crystals, while its polycrystalline type is less common. Other components in the matrix, such as iron compounds, plagioclase, and calcite, are found in the paste of some pottery. The mineral biotite (mica) in the paste of some pottery has been completely burnt, and only a frame of it has remained due to the high firing temperature. The mineral muscovite is also seen in limited amounts in some samples.

Keywords: Anahita Kangavar temple, Islamic glazed potteries, Structural analysis, Petrography.

Received: 2024/5/12

Revised: 2025/5/1

Accepted: 2025/6/11

Published: 2025/6/30

Copyright: ©2025 by the Authors. This article is an open access article distributed under the terms and conditions of the Creative Commons Attribution Noncommercial 4.0 International (CC BY-NC 4.0 license)

<https://creativecommons.org/licenses/by-nc/4.0>



Introduction

Kangavar Anahita's temple site, located on the famous Khorasan-Bagdad highway, is considered one of the most prominent and

distinguished areas in the western part of Iran. Its importance has always been in the attention of historians and geographers of the Islamic era. Almost all the historians and geographers of the Islamic period who passed from the western region of Iran have mentioned and indicated this site and its stone building in their writings. So Iranian archaeologists' attention was directed to this site very soon, and archaeological excavations at the Kangavar

area and its stone building started more than half a century ago (Kambaksh fard 1971, 1972,1973,1975, 1996,2008; Kabiri 1990,1992, 1995; Mahyar&Kabiri 2005; Azaroush 1982, 2010). The abundance of archaeological findings obtained along with a vast stone building from the historical period has drawn the attention of all these historians and archaeologists to the historical periods of the site and its stone building. Therefore, the pottery findings of the Islamic period, especially the painted glazed pottery on the site, have received less attention and research. Therefore, the petrographic study of the glazed pottery from the Islamic period at the site can be provide new insights into the method of manufacture and mineralogical texture of the pottery and the degree of its firing. Important questions are include: What is the structure and texture of glazed potteries from the Islamic period in the Anahita Temple site of Kangavar based on the results of petrographic studies, and how much did their mineralogical structure change during the Middle to Late Islamic period?

Materials and Methods

In terms of macroscopic characteristics, 12 Islamic glazed ceramic sherds (single-color and painted) were selected for petrographic analysis. The research method in this article is field and laboratory. In terms of macroscopic features, these fragments belonged to the Middle to Late Islamic period. Petrography was used to identify mineral components, texture, inclusions, and estimate firing temperatures. The thin section (30 microns thick) was prepared using a James Swift polarizing binocular microscope and the magnification used in this study was 4X. The sections were prepared in such a way that the clay paste and the glaze layer could be studied simultaneously.

Results & Discussion

In terms of texture or petrofabric, the samples have a heterogeneous and silty (fine-grained) texture, and some samples also have a heterogeneous silty texture. Quartz mineral is found abundantly in all samples. This mineral has an abundance of 10% to 20% in the samples and is generally in the form of phenocrysts or single crystals and its polycrystalline type is less common. Other components present in the field such as iron-bearing components, plagioclase and calcite are found in the paste of some pottery. The biotite mineral (mica) present in the paste of some pottery, due to the high firing temperature, is completely burned and only its majority remains. Muscovite mineral is also seen in limited amounts in some samples. The presence of calcite mineral in 4 pottery pieces out of 12 samples indicates the significant use of this

mineral in the structure of the pottery samples studied. The glazing method in these samples was carried out in two ways: 1- Pottery samples that had a glass glaze layer with a thickness of 100 to 200 microns, which was placed directly on the clay paste. This glaze layer had a molten silicate composition and was free of any inclusions. 2- Samples of pottery that had a layer of glaze on both sides. On one side of the sample, a layer of glaze is visible, which is directly on the clay paste. This layer of glaze consists of two separate parts, with a glassy glaze layer on the outer surface and a silicate melt with fine quartz particles on the lower surface, which is thicker. On the other surface of the sample, only a thin layer of glassy glaze is visible.

Conclusion

In all the samples studied, quartz mineral and iron compounds are observed. Quartz is present in two forms: phenocryst (single crystal) and polycrystalline. This mineral is seen with angular to semi-rounded edges in the clay of the pottery. Of course, as stated in the report, phenocryst quartz is much more abundant than polycrystalline quartz. Calcite mineral is seen in some samples and is absent in others. The presence of calcite mineral in the pottery indicates a firing temperature of less than 800 degrees Celsius, and in pottery without calcite or carbonate minerals, the firing temperature is more than 800 degrees Celsius. All samples contain quartz and iron oxides; some include plagioclase, mica, and amphibole. Quartz was used both naturally and as temper to improve durability and reduce shrinkage. Firing temperature estimates and glaze structure analysis suggest a well-developed ceramic production technique. The mineralogical similarity between temple stones and ceramic pastes supports local production. No major technological evolution observed between Middle and Late Islamic ceramics in the site.

Author Contributions: First Author: Had the greatest share in preparing the article, including the study of concepts and article design, data collection and analysis, preparation of the original draft, and structuring of the article. Second Author: Proposed the initial plan, performed secondary literature review and resource identification for the study, assisted with the breakdown and interpretation of the analytical results, and handled administrative follow-up. Third Author: Was responsible for the administrative coordination regarding the required experiments and all matters related to laboratory affairs.

Funding: This research received no external funding.

Data Availability Statement: All data generated or analyzed during this study are included in this published article.

Acknowledgments: The authors announce their profound appreciation for the unstinting support and significant assistance in drafting the text of this article provided by Dr. Mohammad Iqbal Chehri, a faculty member

of Islamic Azad University. We also express our gratitude for the cooperation of the Petrography Laboratory of the Research Center for Conservation and Restoration, a division of the Research Institute of Cultural Heritage of the country.

Conflicts of Interest: The author declares no conflicts of interest.



ساختارشناسی سفال‌های لعابدار دوران اسلامی در معبد آناهیتای کنگاور بر اساس نتایج پتروگرافی

فتانه رحیمی^۱، مریم کلبادی نژاد^{۲*}، محمد مرتضائی^۳

۱. دانشجوی دکتری باستان‌شناسی، گروه تاریخ و باستان‌شناسی، دانشکده ادبیات و علوم انسانی، واحد تهران مرکزی، دانشگاه آزاد اسلامی، تهران، ایران
۲. استادیار، گروه تاریخ و باستان‌شناسی، دانشکده ادبیات و علوم انسانی، واحد تهران مرکزی، دانشگاه آزاد اسلامی، تهران، ایران
۳. دانشیار، گروه باستان‌شناسی اسلامی، پژوهشکده باستان‌شناسی، پژوهشگاه میراث فرهنگی و گردشگری، تهران، ایران

*مسئول مکاتبات: Maryam.kolbadi@gmail.com

چکیده

محوطه معبد آناهیتای کنگاور یکی از شاخص‌ترین محوطه‌های غرب ایران محسوب می‌شود که همواره مورد توجه مورخان و جغرافی‌نویسان دوره اسلامی، جهان‌گردان اروپایی و همچنین باستان‌شناسان بوده است. بر روی این محوطه یک بنای سنگی با سنگ‌های بزرگ تراش‌خورده از دوران تاریخی وجود دارد که کاوش‌های باستان‌شناسی در آن از ۱۳۴۷ شمسی شروع شده است. بنابراین سفال‌های لعابدار اسلامی محوطه، کمتر مورد پژوهش قرار گرفته است و تاکنون هیچ‌گونه مطالعه آزمایشگاهی پتروگرافی درخصوص شیوه ساخت و ساختار کانی شناسی سفال‌های اسلامی این محوطه انجام نگرفته است. در این پژوهش پرسش مهم این است که ساختارشناسی و بافت سفال‌های لعابدار دوران اسلامی در محوطه معبد آناهیتای کنگاور بر اساس نتایج مطالعه پتروگرافی چگونه است و چقدر ساختار کانی شناسی آنها در دوران اسلامی میانه تا متأخر اسلامی تغییرات داشته است؟ این پژوهش با روش آزمایشگاهی، به مطالعه تعداد ۱۲ قطعه سفال مربوط به دوران اسلامی میانه تا متأخر در محوطه معبد آناهیتای کنگاور اختصاص دارد، با این هدف که شیوه ساخت و اجزای کانی شناسانه این سفال‌ها چگونه است. نتایج پتروگرافی این ۱۲ قطعه سفال لعابدار دوران اسلامی نشان داد که از نظر بافت یا پتروفابریک، نمونه‌ها دارای بافت ناهمگن (پورفیری) و سیلتی (ریزدانه) هستند و برخی نمونه‌ها نیز دارای بافتی سیلتی ناهمگن هستند. در تمام نمونه‌ها کانی کوارتز به وفور یافت می‌شود. این کانی به صورت فنوکریست یا تک بلور بوده و نوع پلی کریستالین آن کمتر وجود دارد. دیگر اجزا موجود در زمینه مانند اکسیدهای آهن، پلاژیوکلاز و کلسیت در خمیره برخی از سفال‌ها یافت می‌شود. کانی بیوتیت (میکا) موجود در خمیره برخی از سفال‌ها، به دلیل حرارت بالای پخت، کاملاً سوخته و فقط غالب آن باقی مانده است. کانی موسکویت نیز به میزان محدود در برخی از نمونه‌ها دیده می‌شود.

واژگان کلیدی: معبد آناهیتای کنگاور، سفال‌های لعابدار اسلامی، ساختارشناسی، پتروگرافی

۱. مقدمه

محوطه موسوم به معبد آناهیتای کنگاور درکنار شاهراه معروف جاده خراسان-بغداد به عنوان یکی از شاخص‌ترین و مهم‌ترین محوطه‌های غرب ایران محسوب می‌شود که به دلیل اهمیت آن، همواره مورد توجه جغرافی‌نویسان و مورخان دوره اسلامی بوده است. تقریباً تمامی

جغرافی‌نویسان و مورخان دوره اسلامی که از منطقه غرب ایران عبور کرده‌اند، در منابع نوشتاری خویش به این محوطه و بنای سنگی آن اشاره می‌کنند. لذا توجه باستان‌شناسان ایرانی خیلی زود به محوطه جلب شد و حفاری‌های باستان‌شناسی در محوطه کنگاور و بنای سنگی آن از بیش از نیم قرن قبل آغاز شد (کامبخش فرد، ۱۳۴۷، ۱۳۵۰، ۱۳۵۱، ۱۳۵۳، ۱۳۶۸).

Copyright: ©2025 by the Authors. This article is an open access article distributed under the terms and conditions of the Creative Commons Attribution Noncommercial 4.0 International (CC BY-NC 4.0 license)

<https://creativecommons.org/licenses/by-nc/4.0>



۱۳۷۴. ۱۳۸۶؛ کبیری، ۱۳۶۹. ۱۳۷۱. ۱۳۷۴؛ مهریار و کبیری، ۱۳۸۳؛ (Azarnoush, 1981. 2009). وفور یافته‌های باستان‌شناسی به دست آمده به همراه یک بنای بزرگ سنگی از دوره تاریخی موجب شده است که توجه تمامی این مورخان و باستان‌شناسان به دوره‌های تاریخی محوطه و بنای سنگی آن جلب شود. بنابراین یافته‌های سفالی دوره اسلامی و به خصوص سفال‌های لعابدار محوطه کمتر مورد توجه و پژوهش قرار گرفته است.

مطالعه پتروگرافی از اهمیت فراوانی در زمینه شناخت بافت و ساختار کانی شناسی سفال‌های لعابدار محوطه برخوردار است، زیرا پتروگرافی شواهدی از ترکیب کانی شناسی، تعیین ماهیت و ویژگی‌های اجزای غیرپلاستیکی و خواص مشخصی از آن اجزاء مثل اندازه ذرات و توزیع و ارتباط آنها با یکدیگر و در نهایت تخمین دمای پخت براساس تغییر و تحولات معدنی در دمای بالا ارائه می‌دهد (علیرضا نودهی و همکاران، ۱۳۹۸: ۱۰). مطالعه بر روی قطعات سفال، می‌تواند سطح فناوری، دانش محیطی و همچنین منابع ماده خام را نشان دهد (1: Enea-Giurgiu et al, 2019) و پتروگرافی در کنار سایر روش‌های آزمایشگاهی سفال به عنوان یکی از روش‌های موفق در زمینه تجزیه و تحلیل فناوری و ترکیبی سفال‌های باستانی بوده است (Fargher, 2007: 313). از مزیت‌های روش پتروگرافی می‌توان به کانی‌شناسی، مهارت در شناسایی صحیح ترکیبات مشابه و فراهم نمودن اندازه‌گیری‌های دقیق بر روی اندازه ذرات، شکل و خصوصیات شیمیایی و تغییرات فازی آن اشاره نمود (Livingood et al., 2009: 201). تجزیه و تحلیل پتروگرافی شامل شناسایی سنگ‌ها و مواد معدنی در داخل خاک رس و ارتباط آنها با منابع زمین شناسی سازگار با شواهد و مدارک باستان‌شناسی می‌باشد (علیرضا نودهی و همکاران، ۱۳۹۸: ۱۰). بنابراین مطالعه پتروگرافی سفال‌های لعابدار دوران اسلامی محوطه، می‌تواند مباحث جدیدی در زمینه شناخت شیوه ساخت و کانی شناسانه بافت سفال و میزان پخت آنها ارائه دهد. لذا پرسش مهم اینست که ساختار شناسی و بافت سفال‌های لعابدار دوران اسلامی در محوطه معبد آناهیتای کنگاور بر اساس نتایج مطالعه پتروگرافی چگونه است و چقدر ساختار کانی شناسی آنها در دوران اسلامی میانه تا متأخر اسلامی تغییرات داشته است؟

۲. پیشینه پژوهش

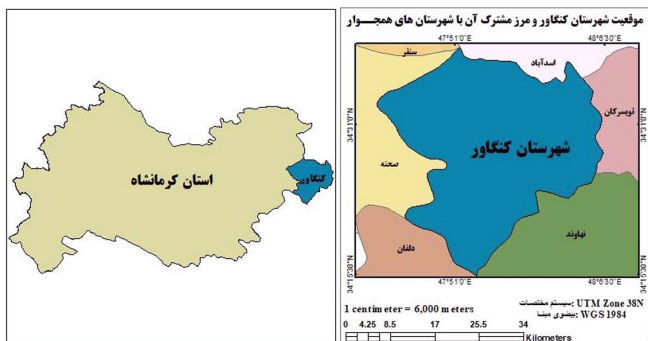
پس از اولین کاربرد مقطع نازک میکروسکوپی در سال ۱۸۴۹م و توسعه روش آماده سازی مقطع نازک در ۱۸۸۲م که توسط دانشمند انگلیسی سوربی (Sorby, H.C) انجام گرفت (2: Montana, 2020). تاریخچه تکامل روش مقطع نازک توسط جانسون اما پتروگرافی با میکروسکوپ به عنوان یک روش قابل اعتماد در زمینه باستان‌شناسی از دهه ۱۹۳۰م مورد استفاده قرار گرفته است و مشخص گردید که اجرای موفقیت آمیز تجزیه و تحلیل

پتروگرافی سفال حداقل به سه شرط نیاز دارد: ۱. در دسترس بودن قسمت‌های نازکی از مقطع سفالی که به درستی تهیه شده است. ۲. در دسترس بودن یک میکروسکوپ پتروگرافی مناسب. ۳. آموزش لازم در زمین شناسی و تجربه در استفاده از میکروسکوپ پتروگرافی و یا کمک از یک پترون‌گرا واجد شرایط (Stoltman, 2001: 297-298). پس از آن در مطالعات علوم باستان‌شناختی، مطالعه منشأیابی سفال با یک روش شناسی پیشرفته و مناسب بر مبنای ترکیبات عنصری در اواخر دهه ۱۹۵۰م صورت گرفت (Hein & Kilikoglou, 2017: 564). البته سهم ارزشمند آنا شپرد را امروزه به عنوان یک نقطه عطف در تاریخ باستان‌شناسی می‌دانند که برای اولین بار به ترکیب ارزیابی سبکی - ریخت‌شناختی با تحلیل‌های پتروگرافی پرداخته است (Shepard, 1965). از منابع مهم دیگر پتروگرافی می‌توان به کتاب آنالیزهای پتروگرافی (Rice, 1987)، کتاب علوم زمین و باستان‌شناسی (Golberg et al, 2001)، کتاب پتروگرافی مقاطع نازک مواد فرهنگی سفالی و سنگی (Reedy, 2008) اشاره کرد. رواج عمده کارهای پژوهشی در مورد پتروگرافی سفال در ایران از دهه ۱۳۹۰ش به بعد است (برای نمونه رجوع کنید به: امامی و نوغانی، ۱۳۹۲؛ نقشینه و همکاران، ۱۳۹۲؛ سلمانزاده و همکاران، ۱۳۹۳؛ رازانی و همکاران، ۱۳۹۶؛ سرداری و همکاران، ۱۳۹۶؛ عباس‌آباد عربی و همکاران، ۱۳۹۷؛ امامی و همکاران، ۱۳۹۸؛ معانی و همکاران، ۱۳۹۸؛ صدقی و همکاران، ۱۳۹۹؛ بخت‌آور و همکاران، ۱۴۰۰؛ علیرضا نودهی و همکاران، ۱۳۹۹؛ حاجی‌نوروزی و همکاران، ۱۴۰۰؛ مسجدی و همکاران، ۱۴۰۰؛ باتر و سراجی، ۱۴۰۱؛ چهری و منصوری نصفی، ۱۴۰۲؛ باغ‌شیخی و همکاران، ۱۴۰۳؛ Velayati et al. (2023).

۲-۱. پیشینه مطالعات باستان‌شناسی

نخستین بار در سال ۳۷ میلادی ایزیدور خاراکسی در کتاب ایستگاه‌های پارتی از معبدی در شهر کنکوبار برای نیایش الهه آرتیمیس یاد می‌کند (ایزیدور خاراکسی، ۱۳۹۰: ۱۷). بنابر اظهارات ویلفرد شاف در تعلیقات کتاب ایستگاه‌های پارتی، مورخان دیگری نظیر: خوان دیودرس، بطلمیوس و استفان بیزانسی به نام کنکوبار اشاره کرده‌اند و پولی بیوس و خاونیتس آن را یکی از ایالات ماد دانسته‌اند (شاف، ۱۳۹۰: ۴۵). دیگر منابع تاریخی مکتوب، مربوط به مورخان و جغرافی‌نویسان ایران دوره اسلامی است که از اواسط سده سوم هجری به کنگاور اشاره نموده و متفقاً از آن به عنوان قصرالصوص (کاخ دزدان) یاد کرده و بقایای مدفون در آن را کاخی از دوره ساسانی و متعلق به خسرو دوم دانسته‌اند (ابن خرداد به، ۱۳۷۰: ۲۰؛ ابن فقیه، ۱۳۴۹: ۳۴؛ ابن رسته، ۱۳۶۵: ۱۹۶؛ ابودلف، ۱۳۴۲: ۶۶-۶۵؛ ابن حوقل، ۱۳۶۶: ۱۰۵؛ اصطخری، ۱۳۴۰: ۱۶۲؛ مقدسی، ۱۳۶۱: ۵۸۷؛ قزوینی، ۱۳۷۳: ۱۹۷؛ یاقوت حموی، ۱۳۸۰: ۱۸۴؛ حمدالله مستوفی، ۱۳۸۱؛ ابوالفداء، ۱۳۴۹: ۴۷۷؛ ناصر

فلدسپات، مسکویت و بیوتیت وجود دارد. این تپه با حداکثر ارتفاع ۳۲ متر نسبت به زمین‌های اطراف و در دامنه شرقی کوه چل‌مران ساخته شده است.



شکل ۱. موقعیت جغرافیایی شهرستان کنگاور بر روی نقشه ایران و استان کرمانشاه و شهرستان‌های واقع در اطراف آن (رحمن آبادی و همکاران، ۱۴۰۰: ۱۲۰)

Figure 1. Geographical location of Kangavar County on the map of Iran and Kermanshah Province and the surrounding counties (Rahmanabadi et al., 2021: 120)

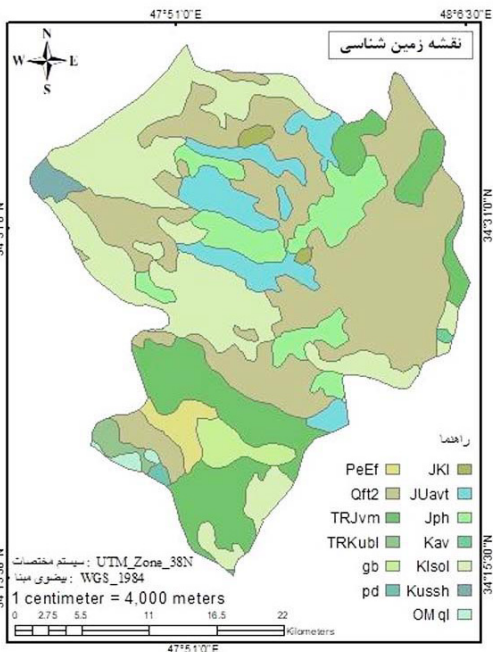
نقشه بنا چهارگوش و دیوارهای بیرونی آن به ابعاد 224×209 متر است. این دیوارهای صفا مانند با لاشه سنگ و ملات گچ ساخته شده‌اند و نمای بیرونی آن‌ها را با سنگ‌های بزرگ تراشیده شده‌ای به صورت خشکه‌چین پوشش داده‌اند و گاهی برای اتصال برخی از بلوک‌های سنگی از بست‌های آهنی و سربی استفاده نموده‌اند. در ضلع جنوبی دیوار بیرونی، پلکان دو طرفه‌ای به طول ۱۵۴ متر دیده می‌شود که از ارتفاع دیوار آن ۸.۲۰ متر باقی مانده است. در مرکز بنا نیز صفاً دوم با ۹۴ متر درازا و ۹.۳۰ متر پهنا و بین ۳ تا ۵ متر ارتفاع قرار دارد. شواهدی از حضور ستون‌های کوتاه و قطور در سه ضلع جنوبی، شرقی و غربی بنا دیده می‌شود. ارتفاع ستون‌های این بنا نسبت به قطر آنها سه به یک است (برای مطالعات بیشتر در مورد جزئیات بنای کنگاور به این منابع مراجعه شود: کامبخش فرد، ۱۳۸۶ الف؛ نیکزاد، ۱۳۸۹: ۲۵۰؛ محمدی فر، ۱۳۹۰: ۱۳۲؛ حیدری، ۱۳۹۱: ۵) (شکل ۲).

الدین شاه قاجار، (۱۳۷۲: ۳۷). سپس سیاحان خارجی سده‌های ۱۷ تا ۲۰ میلادی به توصیف سازه سنگی کنگاور به عنوان معبد الهه ارتمیس و یا الهه آنهیتا پرداخته‌اند که شامل سیاحانی چون: تاورنیه (۱۳۶۹: ۲۹۰-۲۸۹)، لایارد (۱۳۶۷: ۳۲۹-۳۲۸)، فلاندن (۱۳۵۳: ۱۹۰)، دیولافوا (۱۳۶۹)، بلوشر (۱۳۶۳: ۲۹۵)، بایندر (۱۳۷۰: ۴۲۷-۴۲۶)، جکسن (۱۳۵۲)، تکسیه و کرپورتر است (نیکزاد، ۱۳۸۹: ۲۵۱). با شروع سده بیستم میلادی و توجه باستان‌شناسان به منطقه، پژوهشگرانی چون گیرشمن (۱۳۳۶: ۲۰۳-۲۰۲)، گدار و همکاران (۱۳۷۱: ۲۴-۲۳)، واندنبرگ (۱۳۷۹: ۱۰۷) و هرتسفلد (۱۳۸۱: ۲۸۷) در مورد بنا اظهار نظر کرده‌اند و تاریخ آن را به عنوان یک معبد یونانی در حدود ۲۰۰ قبل از میلاد دانسته‌اند. سپس چهار دوره کاوش‌های باستان‌شناسی در این محوطه صورت گرفت که شامل کاوش‌های باستان‌شناسی کامبخش فرد به طور مستمر از ۱۳۴۷ تا ۱۳۵۷، آذرنوش در سال‌های ۱۳۵۶-۱۳۵۷، علی ولی نوری در سال ۱۳۶۵، در نهایت احمد کبیری و محمد مهریار در سال‌های ۱۳۶۷ تا ۱۳۸۰ است (مهریار و کبیری، ۱۳۸۳: ۶۴-۵۹). در این بین بیشترین میزان فعالیت‌های باستان‌شناسی به کارهای مرحوم کامبخش فرد اختصاص دارد و به عنوان کاوشگر اصلی محوطه، تاریخ استقرار در آن را مربوط به دوره‌های هخامنشی، سلوکی، اشکانی، ساسانی و دوره اسلامی (به ویژه سلجوقی) می‌داند. وی اشاره‌هایی محدود نیز به سفالهای دوران اسلامی محوطه دارد و بیشتر ظروف لعابدار و منقوش اسلامی محوطه را بین سده‌های سوم تا پنجم هجری تاریخگذاری کرده است (کامبخش فرد، ۱۳۸۶ الف: ۱۳۱؛ کامبخش فرد، ۱۳۸۶ ب: ۳۱۰-۲۹۵). تمامی این موارد از پیشینه پژوهش به ذکر مشخصات و کارکرد بنای سنگی محوطه و ارائه گاهنگاری دوره‌های تاریخی آن (اشکانی - ساسانی) پرداخته است (Azarnoush, 1981, 2009; Alibaigi, 2017: 10)؛ نیکزاد، ۱۳۸۹: ۲۵۸؛ حیدری، ۱۳۹۱: ۷۸).

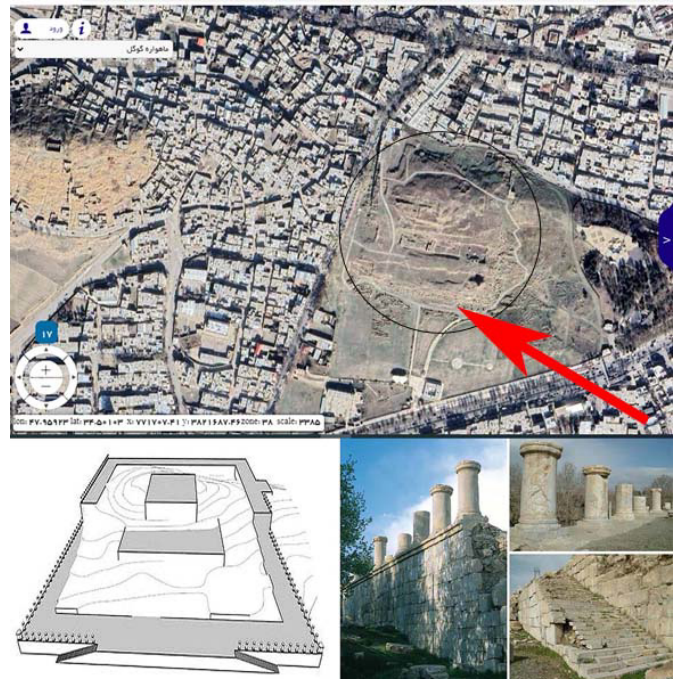
۲-۲. توصیف محوطه

شهرستان کنگاور واقع در شرق استان کرمانشاه و در قسمت جنوبی جاده اصلی همدان - کرمانشاه قرار دارد که از شمال و شرق با استان همدان، از جنوب غربی با استان لرستان و در شمال غربی و غرب با شهرستان‌های سنقر و صحنه همجوار است (رحمن آبادی و همکاران، ۱۴۰۰: ۱۱۹) (شکل ۱). در مرکز شهر کنگاور، محوطه‌ای تاریخی به صورت یک بنای عظیم سنگی وجود دارد که در ۲۴ شهریور ۱۳۱۰ ش (۱۶ سپتامبر ۱۹۳۱ م) با عنوان «محل کنکبار قدیم خرابه‌های عهد اشکانی» به شماره ۳۱ در فهرست آثار ملی به ثبت رسیده است (حیدری، ۱۳۹۱: ۷۴). بنای تاریخی معروف به معبد آنهیتا، بر روی تپه‌ای طبیعی که سنگ بستر آن از جنس سنگ دگرگونی شیبست است و در ترکیبات آن کانی‌های کوارتز، میکا،

رورانده بر روی واحد JK قرار گرفته است. این شیستها متشکل از کوارتز، سربیسیت و موسکوویت می باشد. ۶. واحد J^{v1}: سنگ های ولکانیکی زیردریایی در محدوده ورقه گسترش قابل ملاحظه ای داشته و به ویژه در جنوب شرقی سنقر و شمال غربی کنگاور بیرون زدگی دارند. ترکیب سنگ های ولکانیکی، آندزیتی، کریستال سنگ توف و آندزیت حفره دار است. ترکیبات اسیدی دارای بافت پورفیریک و متشکل از کانی های کوارتز، فلدسپات الکالن و پلاژیوکلاز است. کانی های ثانویه به صورت کربنات، رس، سربیسیت و غیره ظاهر شده و کانیهای فرعی آن شامل اکسید آهن و کانی اپاک است. ۷. واحد ولکانیکی و رسوبی ژوراسیک - کرتاسه (JK): سازندهای این واحد شامل آندزیت، داسیت، ریوداسیت تا ریولیت، توف، توف های قطعه سنگ بلورین، اسلیت، افق های آهکی با لایه ماسه سنگی و کوارتزی است. ۸. واحد ترشیری (PE): این واحد متشکل از نهشته های فلیش گونه شیل و ماسه سنگ است که در جاهایی حاوی لایه های کم ضخامت کنگلومرا می باشد. ۹. واحد (OM¹) قابل مقایسه با سازند قم در ایران مرکزی، ۱۰. توده های دیوریت - گابرو (D-GB) (سازمان زمین شناسی و اکتشافات معدنی کشور). همچنین حوضه کنگاور متشکل از رسوبات خشکی کواترنری و نهشته های خشکی با دشت های سیل آبی متشکل از لایه های میانی ماسه و رس و لایه های عدسی شکل از خاک رس است (Shekoteh et al. 2020:3-4). تپه ماهورهای کنگاور همانند کوه گودین و لره کوه نیز در محدوده زون سنندج - سیرجان قرار دارد و عموماً از سنگ های آتشفشانی، سنگ های دگرگونی، شیست، آهک های متبلور شده با رگه های مرمر تشکیل یافته است (حکمتی، ۱۳۷۲: ۱۱) (شکل ۳).



شکل ۳. نقشه زمین شناسی شهرستان کنگاور (رحمن آبادی و همکاران، ۱۴۰۰: ۱۳۳)
Figure 3. Geological map of Kangavar County (Rahmanabadi et al., 2021: 123)



شکل ۲. ردیف بالا: عکس هوایی محوطه در مرکز شهر کنگاور، ردیف پایین: پلان بازسازی شده از محوطه و عکس هایی از دیوار سنگی محوطه معبد آناهیتا (گوگل ارث، حیدری، ۱۳۹۱: ۸۵؛ Alibeigi, 2017:11)

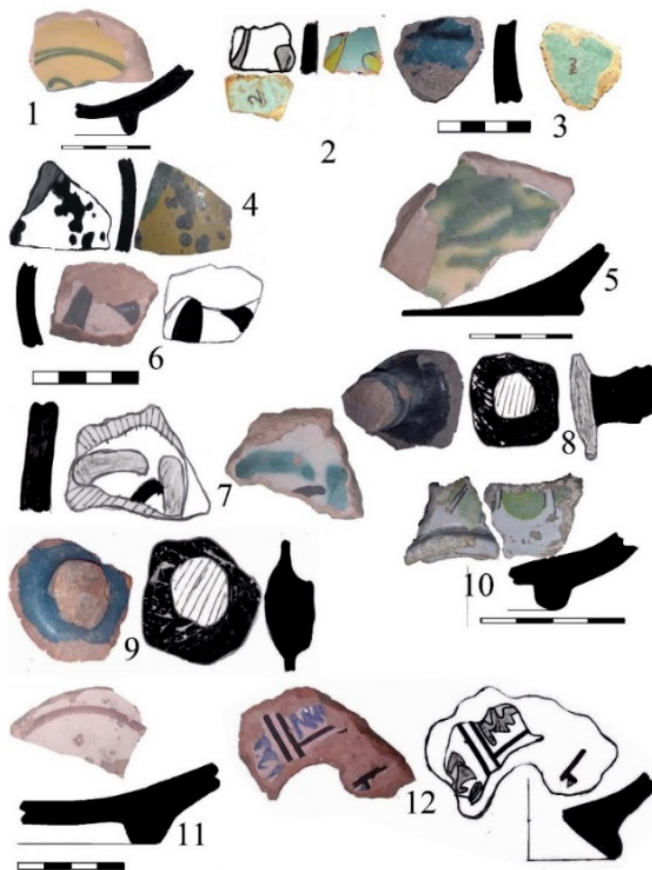
Figure 2. Top row: Aerial photo of the area in the center of Kangavar city, bottom row: Reconstructed plan of the area and photos of the stone wall of the Anahita Temple area (Google Earth, Heydari, 2012: 85. Alibeigi, 2017:11)

۲-۳. زمین شناسی منطقه

دشت کنگاور از نظر زمین شناسی بر روی زون زمین شناسی سنندج - سیرجان قرار دارد و از سوی دیگر این دشت، حداقل با دو گسل زلزله خیز فعال دینور- نهاوند و مروارید- صحنه محدود می شوند (مترجم و الماسی، ۱۳۹۲: ۵۳). از نظر چینه شناسی، زون سنندج - سیرجان در منطقه شامل: ۱. نهشته های کریونیفیر (C⁴)، ۲. سنگ های آذرین - رسوبی دگرگونه (واحد TR^{mv}) که خلاصه ترکیب سنگ شناسی آن به شکل سنگ های آتشفشانی (ریولیت، داسیت و آندزیت با بافت پورفیری و میکرو کریستالین و با مواد تشکیلی پلاژیوکلاز)، سنگ های آذرین درونی کم عمق با ترکیب گرانیت، گرانودیوریت، دیوریت، دیوریت کوارتزار، سنگ های کربناته که متشکل از سنگ آهک مرمری، آهک دولومیتی و اسکاپولیتی است. ۳. آهک تریاس (واحد TR¹)، ۴. مجموعه سنگ های رسوبی - ولکانیکی تریاس ژوراسیک (TR^{Jm}) با ترکیب شیست سبز، آمفیبول شیست و سنگ های رسوبی آهک دگرگونه و ماسه سنگ است. زیرواحدهای TR^{Jsch} با سنگ های شیست، کوارتز فیلیتی سبز، زیر واحد TR^{Jmv} با سنگ های آتشفشانی آندزیتی و بازالتی، شیست با بافتی پورفیریک از فنوپلاژیوکلازها و کانی های رس، کلریت، کربنات و سربیسیت. زیر واحد TR^{Jam} با سنگ های نفوذی کم عمق و بازیک، زیر واحد TR^{J1} با سنگ های آهکی، شیست و آذرین دگرگون شده است. ۵. واحد J^{sch}: ادامه شیست های همدان به صورت

۳. مواد و روش‌ها

در محوطه معبد آناهیتای کنگاور تعداد ۱۲ قطعه از سفال‌های لعابدار تک‌رنگ و منقوش دوران اسلامی با هدف شناخت شیوه ساخت و ساختار شناسی آنها انتخاب گردید. از نظر ویژگی‌های ماکروسکوپی، این قطعات متعلق به دوران اسلامی میانه تا متأخر بودند که مشخصات ظاهری و گونه شناختی هر کدام از این قطعات سفال قابل مشاهده است (شکل ۴، جدول‌های ۱ و ۲).



شکل ۴. عکس و طرح نمونه سفالهای آزمایش شده

Figure 4. Photograph and sketch of tested pottery samples

شایان ذکر است که این ۱۲ قطعه سفال از بین تعدادی قطعات سفال لعابدار تک‌رنگ و منقوش بر اساس تنوع و تفاوت ظاهری و بافتی آنها انتخاب گردید. روش پتروگرافی یا مطالعه میکروسکوپی مقطع نازک، در این آزمایش به کار گرفته شده است. پتروگرافی یکی از روش‌های کاربردی در زمین شناسی و باستان شناسی است که در زمین شناسی برای مطالعه سنگ‌ها و کانی‌ها به کار می‌رود. در باستان شناسی نیز از آن در مطالعه ساختار شناسی و فاز شناسی اشیاء سفالی و مواد سنگی استفاده می‌شود (Quinn, 2013: 4). در این روش از نمونه مورد نظر لایه نازک به ضخامت ۳۰ میکرون روی لام

آزمایشگاهی تهیه می‌شود که به آن مقطع نازک گفته می‌شود (Shepard, 1956: 139-140). در این ضخامت و در زیر میکروسکوپ پلاریزان، کانی‌های تشکیل دهنده خواص نوری ویژه‌ای از خود نشان می‌دهند (امان‌اللهی، ۱۳۸۸: ۱۲۷. باغ‌شیخی و همکاران، ۱۴۰۳: ۱۰۰). این مقطع به قدری نازک است که می‌تواند نور را از خود عبور دهد و با قرار دادن آن در زیر میکروسکوپ زمین شناسی (پلاریزان) به بررسی و مطالعه کانی‌های موجود در آن بر اساس قوانین شکست نور و تعیین ضریب شکست فازهای کریستالین یا مینرال‌ها بعنوان یکی از اصول شناسایی کانی‌ها می‌پردازند. از آنجایی که مواد معدنی تشکیل دهنده سنگ‌ها یا موجود در سفال‌ها در مقابل نور پلاریزه ویژگی‌ها و رنگ‌های متفاوتی دارند، متخصصین پتروگرافی می‌توانند آنها را از یکدیگر تشخیص دهند و به نحوه تشکیل و خصوصیات شیمیایی و ترمودینامیکی آنان اشاره کنند. به این ترتیب کانی‌ها و مواد معدنی تشکیل دهنده سنگ‌ها یا موجود در سفال‌ها را مشخص و خصوصیات و شکل و اندازه آنها را معلوم سازند. به کارگیری پتروگرافی در مطالعه سفال می‌تواند اطلاعاتی چون: منشأیابی خاک رس بر اساس خصوصیت‌های آنیزوتروپی ماتریکس و مواد افزوده (شاموت) به خمیره سفال، اطلاعات فنی در مورد پخت سفال شامل میزان حرارت و شرایط پخت و نحوه رفتار سفالگر را در اختیار باستان شناسان قرار دهد (پترسون، ۱۳۹۵: ۶۷-۶۴؛ نقشینه و همکاران، ۱۳۹۲: ۶۸؛ Quinn, 2013).

مقطع نازک تهیه شده با استفاده از میکروسکوپ دو چشمی پلاریزان مدل جیمز سویفت (JamesSwift) استفاده شده و بزرگ‌نمایی به کار رفته در این مطالعه ۴X بوده است. مقاطع تهیه شده به صورتی هستند که بتوان هم‌زمان خمیره گلی و لایه لعاب را مطالعه نمود. در این روش سه جنبه ساختار سفال را می‌توان بررسی کرد که عبارتند از: اطلاعات دقیق در رابطه با ترکیب کانی‌شناسی به منظور تعیین منشأ خاک رس، تعیین ماهیت و ویژگی‌های اجزاء غیر پلاستیکی (انکلوزیون) و خواص مشخصی از آن اجزاء همچون اندازه ذرات و توزیع و ارتباط آنها با یکدیگر که به درک روش سفال‌گر برای آماده‌سازی و شکل‌دهی خمیر سفال کمک می‌کند. همچنین در این روش، تخمین دمای پخت بر اساس تغییر و تحولات مواد معدنی در دمای بالا به دست می‌آید (باغ‌شیخی و همکاران، ۱۴۰۳: ۱۰۱-۱۰۰؛ بخت‌آور و همکاران، ۱۴۰۰: ۱۵۵). برای سهولت در دستیابی به نتایج پتروگرافی، نتایج بررسی در یک جدولی ارائه شده که در بخش نتایج مطالعه پتروگرافی سفال‌ها به تفصیل با جزئیات بدان پرداخته شده است (جدول ۳).

Table 1. Table of appearance characteristics of tested pottery samples

No. Pottery AT	Part Type	Outer Finish	Inner Finish	Firing	Manufacturing Method	Outer Color	Paste Color	Inner Color	Size (cm)	Thickness	Form	Decoration	Description
1	Pedestal Base	Colored Glaze	Colored Glaze	Sufficient	Wheel-made	Yellow Colored Glaze	Buff / Cream	Yellow Colored Glaze	11	Medium	Pedestal	Underglaze Painting	Late Islamic
2	Body	Colored Glaze	Colored Glaze	Sufficient	Wheel-made	Turquoise Colored Glaze	Buff / Cream	Turquoise Colored Glaze	----	Medium	----	Black Motif and Green Splashed Glaze under Transparent Glaze	Ilkhanid (6th to 8th C. AH / 12th-14th C. CE)
3	Body	Colored Glaze	Thick Clay Slip	Sufficient	Wheel-made	Buff / Cream	Buff / Cream	Turquoise Colored Glaze	----	Medium	----	Black Brushwork under Turquoise Glaze	Ilkhanid (7th - 8th C. AH / 13th-14th C. CE)
4	Body	Colored Glaze	Colored Glaze	Sufficient	Wheel-made	Yellow Colored Glaze	Buff / Cream	Yellow Colored Glaze	----	Medium	----	Underglaze Painting	Late Islamic (10th to 13th C. AH / 16th-19th C. CE)
5	Base/Foot	Colored Glaze	Colored Glaze	Sufficient	Wheel-made	Green Colored Glaze	Buff / Cream	Green Colored Glaze	16	Medium	----	Colored Underglaze Painting	Seljuq-Ilkhanid (11th - 14th C. CE)
6	Body	Colored Glaze	Colored Glaze	Sufficient	Wheel-made	Buff / Cream	Buff / Cream	Transparent White Colored Glaze	----	Medium	----	Painting under Transparent White Glaze	Seljuq-Ilkhanid (11th - 14th C. CE)
7	Body	Colored Glaze	Colored Glaze	Sufficient	Wheel-made	Buff / Cream	Buff / Cream	White Colored Glaze	----	Medium	----	Polychrome Motifs under Glaze	7th and 8th C. AH (13th and 14th C. CE)
8	Lid	Thick Clay Slip	Colored Glaze	Sufficient	Hand-made	Buff / Cream	Buff / Cream	Turquoise Colored Glaze	----	Medium	----	Black Brushwork under Turquoise Glaze	Ilkhanid (7th - 8th C. AH / 13th-14th C. CE)
9	Lid	Thick Clay Slip	Colored Glaze	Sufficient	Hand-made	Buff / Cream	Buff / Cream	Turquoise Colored Glaze	----	Medium	Lid	-----	Seljuq-Ilkhanid (11th - 14th C. CE)
10	Pedestal Base	Colored Glaze	Colored Glaze	Sufficient	Wheel-made	White Colored Glaze	Buff / Cream	White Colored Glaze	14	Fine	----	Polychrome Motifs (Black and Green) under Glaze	Ilkhanid (Second half of 7th C. AH / Mid-13th C. CE)
11	Pedestal Base	Colored Glaze	Colored Glaze	Sufficient	Wheel-made	Buff / Cream	Buff / Cream	Transparent White Colored Glaze	8	Medium	----	Painting under Transparent White Glaze	Seljuq-Ilkhanid (11th - 14th C. CE)
12	Pedestal Base	Colored Glaze	Thick Clay Slip	Sufficient	Wheel-made	Brown	Brown	Transparent White Colored Glaze	14	Medium	----	Polychrome Motifs under Glaze	7th and 8th C. AH (13th and 14th C. CE)

جدول ۲. جدول گونه‌شناختی نمونه سفال‌های آزمایش شده
Table 2. Typological table of tested pottery samples

No.	Glazed Pottery Type at Anahita Temple	Site: Anahita Temple, Kangavar	Comparable Sites	Chronology and Photo Source
1 & 4	Pottery with Yellow Underglaze Painting		Hamadan Region (Zarei & Shabani, 2019: 115);  Kuwait Rajab Tariq Museum (Fahruri, 2009: 70. Photo No. 59, belonging to the 13th C. AH)	Late Islamic (10th to 13th C. AH / Saffavid period onwards)
2	Pottery with Black Motif and Green Splashed Glaze under Transparent Glaze on a Turquoise Background		Andajin (Rezaei & Mohammadi, 2020: 163, 155); Malin (Khodadoust et al., 2017: 164);  (Wilson Allen, 2004: 37)	6th to 8th C. AH (12th to 14th C. CE)
3 & 8	Pottery known as Black Brushwork under Turquoise Glaze (Qalam Siah)		Andajin (Rezaei & Mohammadi, 2020: 155. Photo 6a); Malin (Khodadoust et al., 2017: 164); Hamadan Region (Mohammadi & Shabani, 2016: 116. Table 7); Zinoabad (Mohammadi & Shabani, 2016: 145); Arzanfoud (Zarei et al., 2014: 78-79); Nachir Khanalegh Ray (Mahjoor et al., 2011: 187-188)  (Mohammadi & Shabani, 2016: Table 8)	Ilkhanid (7th - 8th C. AH / 13th - 14th C. CE)
5	Pottery with Green Colored Underglaze Painting		Hamadan Region (Zarei & Shabani, 2019: 118, Table 10); Zinoabad Site and Laodicea Temple, Nahavand (Mohammadi & Shabani, 2016: 140, 141, 147. Tables 4 & 12. Heydari, 2012: 200); Malin Site (Khodadoust et al., 2017: 164. Photo 3, No. 51); Andajin (Rezaei & Mohammadi, 2020: 155. Photo 6b)  (Mohammadi & Shabani, 2016: Table 5)	5th to 8th C. AH (11th to 14th C. CE)
6 & 11	Pottery with Painting under Transparent Creamy/Milky Glaze		Zinoabad Site in Hamadan (Mohammadi & Shabani, 2016: 141-142)	5th to 8th C. AH (11th to 14th C. CE)
7 & 12	Pottery with Polychrome Motifs Underglaze		Andajin (Rezaei & Mohammadi, 2020: 153, 155); Malin (Khodadoust et al., 2017: 164); Zinoabad (Mohammadi & Shabani, 2016: 146); Nachir Khanalegh Ray (Mahjoor et al., 2011: 186)  (Rezaei & Mohammadi, 2020: Figure 7)	7th and 8th C. AH (13th and 14th C. CE)
9	Simple Monochrome Glazed Pottery (Turquoise or Lapis Lazuli Blue)		Andajin (Rezaei & Mohammadi, 2020: 155. Photo 6b); Arzanfoud (Zarei et al., 2014: 83. Table 5); Zinoabad (Mohammadi & Shabani, 2016: 144, Table 7); Laodicea, Nahavand (Heydari, 2012: 155)  (Mohammadi & Shabani, 2016: Table 7)	Seljuq and Ilkhanid (11th to 14th C. CE)
10	Pottery with Polychrome Motifs (Green and Black) Underglaze on a White Background		Arzanfoud (Zarei et al., 2014: 77. Table 1); Andajin (Rezaei & Mohammadi, 2020: 153. Table 2); Malin (Khodadoust et al., 2017: 164. Photo 3 No. 63)  (Mahjoor et al., 2011: 189; Figure 11)	Ilkhanid (Second half of the 7th C. AH / Mid-13th C. CE)

جدول ۳. نتایج مطالعه پتروگرافی سفال های لعابدار دوران اسلامی در محوطه معبد آناهیتیای کنگاور

Table 3. Results of petrographic study of glazed pottery from the Islamic period in the Anahita Temple area of Kangavar

Number of Sample	Qz (Clean)	Qz (Cloudy)	Plg	Fe-oxid	Am & Py	Cc	Mica	M.R	V.R	Texture
1	*	*	-	*	-	*	-	-	-	Silty (Fine-Grained)
2	*	*	-	*	tr	-	-	-	-	Silty
3	*	*	*	*	*	*	*	-	-	Heterogeneous
4	*	*	-	*	tr	*	-	-	-	Silty
5	*	*	*	*	tr	*	*	-	-	Heterogeneous
6	*	*	*	*	tr	-	*	-	-	Heterogeneous
7	*	*	*	*	*	*	*	-	-	Heterogeneous
8	*	*	tr	*	*	*	*	*	Tr	Heterogeneous
9	*	*	-	*	-	*	tr	-	-	Silty
10	*	*	-	*	-	*	-	-	-	Silty
11	*	*	*	*	*	*	*	*	-	Heterogeneous Silty
12	*	*	*	*	*	*	*	-	-	Heterogeneous

Qz (Clean): Clear, monocrystalline quartz (phenocrysts). Qz (Cloudy): Cloudy, polycrystalline quartz. Plg: Plagioclase. Alkali-Feldspar: Feldspar. Am & Py: Amphibole and Pyroxene. Fe-oxid: Iron oxides. Mica: Mica. Cc: Calcite. M.R: Metamorphic rock fragments. V.R: Volcanic rock fragments.

در تمام نمونه‌ها کانی کوارتز به وفور یافت می‌شود (شکل‌های ۱۵-۵). این کانی فراوانی ۱۰ درصد تا ۲۰ درصد را در نمونه‌ها دارد و به طور کلی به صورت فنوکریست یا تک بلور بوده و نوع پلی کریستالین آن کمتر وجود دارد. دیگر اجزا موجود در زمینه مانند اجزای آهن‌دار، پلاژیوکلاز و کلسیت در خمیره برخی از سفال‌ها یافت می‌شوند. کانی بیوتیت (میکا) موجود در خمیره برخی از سفال‌ها، به دلیل حرارت بالای پخت، کاملاً سوخته و فقط غالب آن باقی مانده است (شکل ۱۱). کانی موسکویت نیز به میزان محدود در برخی از نمونه‌ها دیده می‌شود (شکل ۱۰).

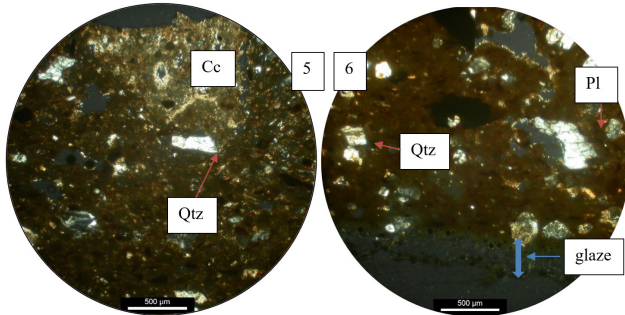
در مطالعه سفال، کانی کلسیت از اهمیت خاصی برخوردار است. از این کانی به عنوان ترمومتر (دماسنج) در مطالعه پتروگرافی یاد می‌شود. کانی کلسیت و یا کانی‌های با بنیان کربناته در دمای ۸۰۰ درجه سانتیگراد در اثر حرارت از بین می‌روند. نبود کانی کلسیت در سفال‌های مطالعاتی، نشان از درجه حرارت بیش از ۸۰۰ درجه سانتیگراد برای این سفالها است. در نمونه‌های دارای کلسیت، درجه حرارت پخت سفال در کمتر از ۸۰۰ درجه سانتیگراد است (شکل‌های ۵، ۷، ۱۲ و ۱۳). حضور کانی کلسیت در ۴ قطعه سفال از ۱۲ نمونه بیانگر استفاده قابل توجه از این کانی در ساختار نمونه سفال‌های مورد مطالعه است. از طرفی، تجزیه و تحلیل XRD از سنگ معبد آناهیتا نیز نشان داده که کلسیت (CaCO_3) فاز اصلی شناسایی شده در تمامی نمونه‌ها است (Shekofteh et al. 2020:10). چنانچه بپذیریم که این سفال‌ها در محل تولید شده‌اند می‌توان عدم حضور کلسیت را بیشتر در ارتباط با درجه حرارت مطرح کرد. موضوع منشأیابی ساخت نمونه قطعات سفال مورد مطالعه در ادامه مورد بحث قرار می‌گیرد.

در ردیف اول جدول، اجزا سازنده سفال آورده شده است و در ستون اول نام و شماره هر سفال به تفکیک ارائه شده است. در این جدول به هر یک از اجزا سازنده دقت شده است و اگر از کانی‌های مورد مطالعه در یک نمونه دیده شوند، با علامت * و اگر در صورت عدم حضور هر یک از این سازنده‌ها با علامت - مشخص شده است. در صورتی که فراوانی آن به مقدار کم یا جزئی باشد با علامت (tr) مشخص شده است. در مطالعه پتروگرافی سفال، مبحث بسیار مهم در خصوص مواد افزوده شده به خمیره سفال است. باستان شناسان اجزائی که اندازه آن‌ها در سفال بزرگتر از ۰.۱ میلی‌متر باشد را به عنوان افزایشنده یا پرکننده در نظر می‌گیرند. در زمین شناسی برای دسته‌بندی سنگ‌ها در زیر میکروسکوپ از واژه‌های بنام بافت یا (Texture) استفاده می‌کنند. بر این اساس اگر اجزا درشت بلور در زمینه ریز بلور قرار گرفته باشد به آن بافت پورفیری می‌گویند. در بافت پورفیری اندازه اجزا سازنده در حدود ۱-۲ میلی‌متر هستند که در زمینه ریز بلور به صورت پراکنده و شناور قرار دارند. نمونه‌هایی که اندازه اجزا سازنده در حدود ۰.۵ میلی‌متر و یا کوچکتر باشد به آن بافت سیلتی می‌گویند. در مطالعه سفال‌های این محوطه، از روش پتروگرافی در شناسایی اجزا و ترکیبات موجود در زمینه استفاده گردید.

۴. یافته‌ها

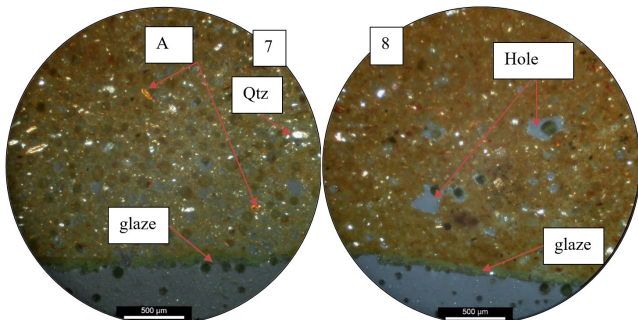
بطور کلی سفال از دو قسمت خمیره (زمینه) و مواد پرکننده تشکیل شده است. در مطالعه پتروگرافی سفال بحث بسیار و مهم مواد افزوده شده به خمیره سفال است. باستان شناسان اجزائی که اندازه آنها در سفال بزرگتر از 0.1mm باشد را به عنوان افزایشنده یا پرکننده در نظر می‌گیرند. از نظر بافت یا پتروفابریک، نمونه‌ها دارای بافت ناهمگن و سیلتی (ریز دانه) هستند و برخی نمونه‌ها نیز دارای بافتی سیلتی ناهمگن هستند.

پراکنده در خمیره وجود دارد. فضاهای خالی در نمونه به شکل مدور تا بیضی و فراوانی ۱۰ درصد در خمیره دیده می شود. کانی کربنات فراوانی خیلی کم (کمتر از ۱ درصد) دارد و لایه لعاب نازک مستقیماً بر روی بدنه قرار دارد (شکل ۸).



شکل ۷. فتومیکروگراف، نمونه ۵، نور XPL، طول میدان دید ۲.۷mm، بافت ناهمگن. کانی کلسیت در مرکز تصویر. فتومیکروگراف، نمونه ۶، نور XPL، طول میدان دید ۲.۷mm، بافت ناهمگن. لعاب شیشه ای در سطح خارجی نمونه، همراه با کوارتز و پلاژیوکلاز.

Figure 7. Photomicrograph, sample 5, XPL light, field of view 2.7mm, heterogeneous texture. Calcite mineral in the center of the image. Photomicrograph, sample 6, XPL light, field of view 2.7mm, heterogeneous texture. Glass glaze on the outer surface of the sample. Along with quartz and plagioclase.

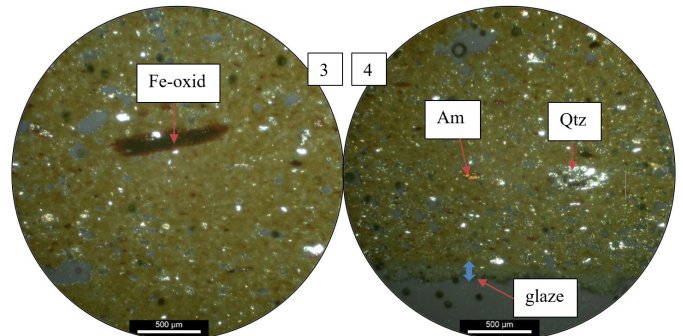


شکل ۸. فتومیکروگراف، نمونه ۷، نور XPL، طول میدان دید ۲.۷mm، بافت ریز دانه (سیلتی) کانی ریز کوارتز همراه با آمفیبول. فتومیکروگراف، نمونه ۸، نور XPL، طول میدان دید ۲.۷mm، بافت ریز دانه. فضای خالی محدود در خمیره سفال. در حاشیه لایه لعاب نازک دیده می شود.

Figure 8. Photomicrograph, sample 7, XPL light, field length 2.7mm, fine-grained (silty) texture of fine quartz mineral with amphibole. Photomicrograph, sample 8, XPL light, field length 2.7mm, fine-grained texture. Limited void space in the clay. A thin glaze layer is visible at the edge.

نمونه مورد مطالعه (شماره ۵) شامل یک قطعه سفال با بافت ناهمگن درشت دانه (پورفیری) و غیر کربناته می باشد. اندازه اجزاء موجود در خمیره به ۱ میلی متر می رسد. کانی کوارتز و پلاژیوکلاز، پیروکسن و آمفیبول، کلسیت و اکسیدهای آهن دار سازنده های اصلی موجود در خمیره است (با تر و سراجی، ۱۴۰۱: ۵۹). کوارتز با فراوانی ۲۰ درصد به صورت تک بلور و پلی کریستال با حاشیه زاویه دار تا نیمه گرد شده دیده می شود. کلسیت به علت حرارت بالا در هنگام پخت از بین رفته و تنها هاله قرمز رنگ (با ترکیب کانی پریکلاز) در این نمونه باقی مانده است. کانی پیروکسن به مقدار

نوعی بافت شاخص در آن (پرتیت) که مخصوص سنگ های گرانیت آکالین است در این نمونه ها وجود دارد. از دیگر کانی های مهمی که در مقاطع نازک بیشتر نمونه ها مشاهده شد، پلاژیوکلاز است. پلاژیوکلازها در سیستم تری کلینیک متبلور و در ۸۰۰ درجه سانتی گراد تغییر شکل می یابند (با تر و سراجی، ۱۴۰۱: ۵۹، Emami and Trettin, 2012). کانی آمفیبول به میزان محدود و پراکنده در خمیره مشاهده می شود. کلسیت در این نمونه به صورت ترکیبی با خمیره است و نوع فنوکریست آن کمتر است. کانی بیوتیت به علت حرارت از بین رفته و فقط اسکلت آن باقی مانده و کانی موسکویت نیز به میزان محدود و پراکنده در خمیره دیده می شود. اکسیدهای آهن هم به رنگ قرمز-قهوه ای تا تیره در خمیره مشخص است. فضای خالی در نمونه به شکل های مختلف در خمیره به وفور دیده می شود. به نظر می رسد که در این نمونه از سنگ آذرین (گرانیت) به عنوان شاموت و پراکنده استفاده شده است (شکل ۷).

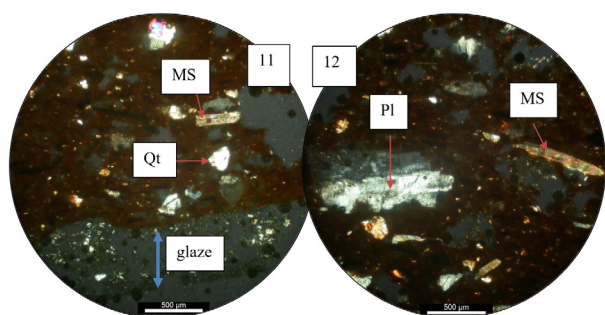


شکل ۶. فتومیکروگراف، نمونه ۳، نور XPL، طول میدان دید ۲.۷mm، بافت سیلتی و ریز دانه، خمیره سفال همگن و قطعات کانی کوارتز به طور پراکنده و محدود در خمیره دیده می شود. فتومیکروگراف، نمونه ۴، نور XPL، طول میدان دید ۲.۷mm، بافت سیلتی، کانی کلسیت همراه با کوارتز در خمیره سفال.

Figure 6. Photomicrograph, sample 3, XPL light, field of view 2.7mm, silty and fine-grained texture, homogeneous clay body and quartz mineral fragments are seen scattered and limited in the body. Photomicrograph, sample 4, XPL light, field of view 2.7mm, silty texture, calcite mineral with quartz in the clay body.

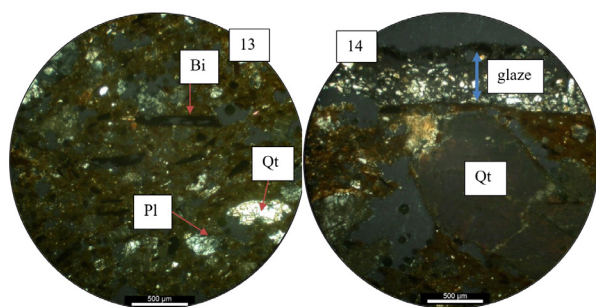
نمونه مورد مطالعه (شماره ۴) شامل یک قطعه سفال با بافت همگن و ریز دانه (سیلتی) و خمیره غیر کربناته است. خمیره سفال همگن و یکدست بوده و اندازه اجزای موجود در خمیره به ندرت از ۰/۵ میلی متر تجاوز می کند. کانی کوارتز، اکسیدهای آهن دار، آمفیبول و کلسیت سازنده های اصلی موجود در خمیره است. کوارتز با فراوانی ۱۰ درصد به صورت ریز دانه، فنوکریست (تک بلور) و گاهی پلی کریستال با حاشیه زاویه دار تا نیمه گرد شده دیده می شود. اکسیدهای آهن دار هم به رنگ قرمز-قهوه ای تا تیره در خمیره مشخص است. به طور کلی رنگ قرمز در سفالها زمانی دیده می شود که از اکسیدهای آهن مثل هماتیت برای خمیر سفال استفاده شده و دمای کوره در هوایی اکسیده بدن رسیده است (Montana, 2020:11). کانی آمفیبول و کانی کلسیت به صورت قطعات مجزا و به میزان محدود و

صورت تک بلور و پلی کریستال با حاشیه زاویه دار تا نیمه گرد شده دیده می شود. کانی پلاژیوکلاز بیشتر درشت دانه و به صورت پراکنده در خمیره سفال است. برخلاف دیگر نمونه ها در این نمونه کانی میکا (بیوتیت) دیده می شود، هرچند که کانی بیوتیت در اثر حرارت از بین رفته و سوخته شده است. اکسیدهای آهن دار هم به رنگ قرمز- قهوه ای تا تیره در خمیره مشخص است. خمیره سفال ناهمگن و مختلف اندازه می باشد و فضاهای خالی در آن با شکل های مختلف در خمیره به وفور وجود دارد (نقشینه و همکاران، ۱۳۹۲: ۷۲). کلسیت در ترکیب با خمیره دیده شده، هرچند که به صورت فنوکریست نیست. این نمونه از نظر ترکیب مشابه با نمونه شماره ۶ می باشد (شکل ۱۱).



شکل ۱۰. فتومیکروگراف، نمونه ۱۱، نور XPL، طول میدان دید ۲.۷mm، بافت ناهمگن، لایه لعاب در پایین تصویر. کانی موسکویت و کوارتز در زمینه دیده می شود. فتومیکروگراف، نمونه ۱۲، نور XPL، طول میدان دید ۲.۷mm، بافت ناهمگن. کانی موسکویت (میکا) همراه با پلاژیوکلاز و کوارتز.

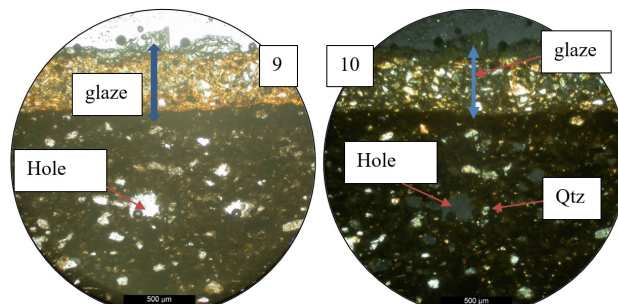
Figure 10. Photomicrograph, sample 11, XPL light, field of view 2.7mm, heterogeneous texture, glaze layer at the bottom of the image. Muscovite and quartz are visible in the background. Photomicrograph, sample 12, XPL light, field of view 2.7mm, heterogeneous texture. Muscovite (mica) with plagioclase and quartz



شکل ۱۱. فتومیکروگراف، نمونه ۱۳، نور XPL، طول میدان دید ۲.۷mm، بافت ناهمگن، کانی بیوتیت سوخته همراه با کوارتز و پلاژیوکلاز. فتومیکروگراف، نمونه ۱۴، نور XPL، طول میدان دید ۲.۷mm، بافت ناهمگن. لعاب متشکل از دو لایه مذاب سیلیکاته و مخلوط مذاب همراه با کوارتز خرد شده.

Figure 11. Photomicrograph, sample 13, XPL light, field of view 2.7mm, heterogeneous texture, burnt biotite mineral with quartz and plagioclase. Photomicrograph, sample 14, XPL light, field of view 2.7mm, heterogeneous texture. Glaze consisting of two layers of silicate melt and a mixture of melt with crushed quartz.

محدود و پراکنده دیده می شود. اکسیدهای آهن دار هم به رنگ قرمز- قهوه ای تا تیره در خمیره مشخص است. فضای خالی در نمونه فراوان به شکل های مختلف در خمیره وجود دارد و خمیره سفال ناهمگن و مختلف اندازه می باشد (شکل ۹).

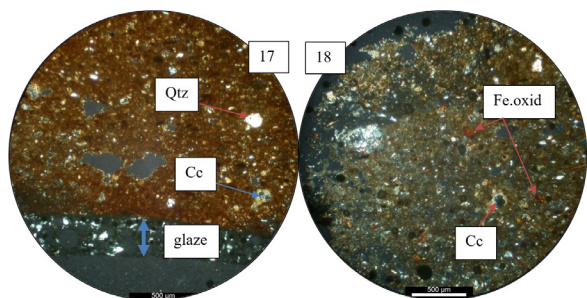


شکل ۹. فتومیکروگراف، نمونه ۹، نور PPL، طول میدان دید ۲.۷mm، بافت ناهمگن، لایه لعاب در بالای تصویر که دو لایه لعاب شیشه ای همراه با لایه متشکل از کوارتز و مذاب سیلیسی که بر روی بدنه قرار دارد. در این نور فضای خالی به رنگ روشن است. فتومیکروگراف، نمونه ۱۰، نور XPL، طول میدان دید ۲.۷mm، بافت ناهمگن. همان تصویر ۹ در نور متقاطع است.

Figure 9. Photomicrograph, sample 9, PPL light, field of view 2.7mm, heterogeneous texture, glaze layer at the top of the image which is two layers of glass glaze with a layer consisting of quartz and molten silica that is on the body. In this light the empty space is light in color. Photomicrograph, sample 10, XPL light, field of view 2.7mm, heterogeneous texture. The same as image 9 in cross-light.

نمونه مورد مطالعه (شماره ۶) یک قطعه سفال با بافت ناهمگن و درشت دانه (پورفیری) و خمیره غیر کربناته است. اندازه اجزاء موجود در خمیره به ۱ میلی متر می رسد. کانی کوارتز و پلاژیوکلاز، میکا و اکسیدهای آهن دار سازنده های اصلی موجود در خمیره هستند. کوارتز با فراوانی ۱۰ درصد به صورت تک بلور و پلی کریستال با حاشیه زاویه دار تا نیمه گرد شده دیده می شود. پلاژیوکلاز که یک کانی درشت دانه است، به صورت پراکنده در خمیره سفال وجود دارد. برخلاف دیگر نمونه ها در این نمونه کانی میکا (بیوتیت - مسکویت) دیده می شود. کانی بیوتیت در اثر حرارت از بین رفته و سوخته شده است ولی کانی مسکویت نیز به تعداد بسیار ناچیز در زمینه سفال به دست آمده است. میکا به دلیل داشتن قليلا در ترکیب شیمیایی خود به عنوان گدازآور نیز عمل کرده و باعث پایین آمدن دمای پخت بدنه سفالینه ها می شود (باتر و سراجی، ۱۴۰۱: ۵۹، پایدار، ۱۳۸۴). اکسیدهای آهن دار هم به رنگ قرمز- قهوه ای تا تیره در خمیره مشخص است. فضاهای خالی در نمونه فراوان و به شکل های مختلف در خمیره دیده می شود، خمیره سفال ناهمگن و مختلف اندازه می باشد. این نمونه فاقد کربنات و دمای پخت بیش از ۸۰۰ درجه سانتیگراد را داشته است (شکل ۱۰).

نمونه مورد مطالعه (شماره ۷) یک قطعه سفال با بافت ناهمگن و درشت دانه (پورفیری) و خمیره غیر کربناته می باشد. اندازه اجزاء موجود در خمیره به ۱ میلی متر می رسد. کانی کوارتز و پلاژیوکلاز، میکا و اکسیدهای آهن دار سازنده های اصلی موجود در خمیره است. کوارتز با فراوانی ۱۰ درصد به

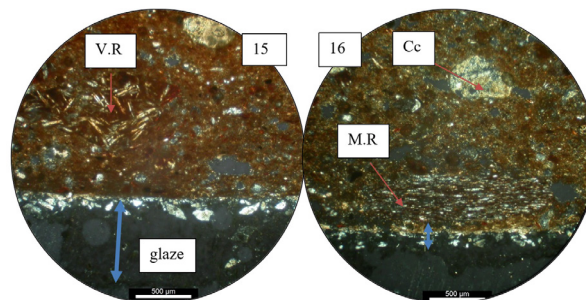


شکل ۱۳. فتومیکروگراف، نمونه ۱۷، نور XPL، طول میدان دید 2.7mm، بافت سیلنتی. کانی کوارتز و کلسیت در مرکز تصویر. لایه لعاب در پایین تصویر مشخص است. فتومیکروگراف، نمونه ۱۸، نور XPL، طول میدان دید 2.7mm، بافت سیلنتی. کانی کوارتز همراه با ترکیبات آهن دار و کلسیت در تصویر دیده می شود.

Figure 13. Photomicrograph, sample 17, XPL light, field of view 2.7mm, silty texture. Quartz and calcite minerals in the center of the image. Glaze layer is visible at the bottom of the image. Photomicrograph, sample 18, XPL light, field of view 2.7mm, silty texture. Quartz minerals are seen in the image along with iron compounds and calcite.

نمونه مورد مطالعه (شماره ۱۰) یک سفال با بافت همگن و ریز دانه سیلنتی و خمیره غیر کربناته است که اندازه اجزاء موجود در خمیره همگن و یکدست آن به ندرت از ۰/۵ میلیمتر تجاوز می کند. کانی کوارتز، ترکیبات آهن دار و آمفیبول سازنده های اصلی موجود در خمیره است. کوارتز با فراوانی ۱۰ درصد به صورت ریز دانه، فنوکریست (تک بلور) و گاهی پلی کریستال با حاشیه زاویه دار تا نیمه گرد دیده می شود. اکسیدهای آهن دار هم به رنگ قرمز - قهوه ای تیره در خمیره مشخص است. کلسیت در این نمونه به صورت ریز دانه و ترکیب با خمیره است. فضای خالی در نمونه به شکل مدور تا بیضی و فراوانی ۱۰ درصد دیده می شود. این نمونه از نظر ترکیب تقریباً مشابه با نمونه شماره ۲ است (شکل ۱۴). میزان فضای خالی موجود در نمونه ها ارتباط مستقیمی با ورز دادن خمیره توسط سفالگر و همچنین خروج حباب از آن دارد و در نتیجه آن سفال با کیفیت تری ساخته می شود (حاجی نوروزی و همکاران، ۱۴۰۰: ۱۸۸) حفرات بزرگ مربوط به هوای موجود در خمیره سفال هستند که در مواردی با جهت یافتگی و شکل منظم خود می توانند ناشی از جهت حرکت دست سفالگر یا چرخ سفالگری باشند، یا در مواردی نیز می توانند فضاهای خالی برجای مانده از سوختن و تجزیه کامل مواد آلی موجود در خمیره در اثر حرارت بالا باشند، که در این صورت این حفرات فاقد نظم و جهت خاصی هستند. حفرات کوچک و میکروسکوپی، ناشی از تبخیر آب میان مولکولی رس ها هستند که پس از تغییر ماهیت رس ها و انقباض تر به خشک ایجاد می شوند (نقشینه و همکاران، ۱۳۹۲: ۷۲).

نمونه مورد مطالعه (شماره ۸) یک سفال با بافت ناهمگن (پورفیری)، درشت دانه و غیر کربناته است. خمیره سفال ناهمگن و در اندازه های مختلف است. مانند نمونه های قبلی اندازه اجزاء موجود در خمیره به ۱ میلی متر می رسد. کانی کوارتز، کلسیت، قطعات سنگ دگرگونی و سنگ آذرین و ترکیبات آهن دار سازنده های اصلی موجود در خمیره است. کوارتز با فراوانی ۵ درصد به صورت تک بلور و پلی کریستال با حاشیه زاویه دار تا نیمه گرد شده دیده می شود. قطعات سنگ دگرگونی دیگر سازنده موجود در خمیره است که با فراوانی ۲-۳ درصد در خمیره دیده می شود. همچنین به تعداد خیلی کم و جزئی قطعات سنگ آذرین در خمیره مشاهده می شود. کانی کلسیت در این نمونه از نوع اسپارایتی و نسبتاً فراوان در خمیره سفال مشاهده می شود. اکسیدهای آهن دار هم به رنگ قرمز - قهوه ای تا تیره در خمیره مشخص است. فضای خالی در نمونه فراوان به شکل های مختلف در خمیره دیده می شود (شکل ۱۲).

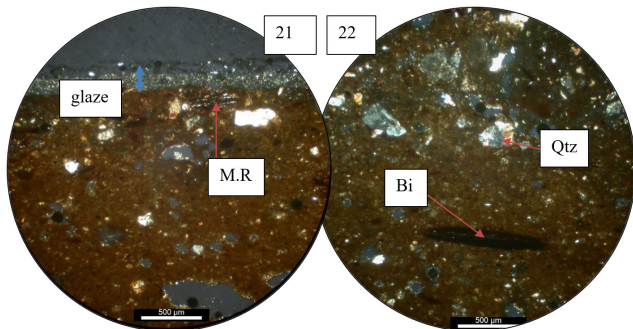


شکل ۱۲. فتومیکروگراف، نمونه ۱۵، نور XPL، طول میدان دید 2.7mm، بافت ناهمگن، قطعه سنگ آذرین در مرکز تصویر. فتومیکروگراف، نمونه ۱۶، نور XPL، طول میدان دید 2.7mm، بافت ناهمگن. لعاب متشکل از دو لایه مذاب سیلیکاته و مخلوط مذاب همراه با کوارتز خرد شده. قطعه سنگ دگرگونی و کانی کلسیت در مرکز تصویر.

Figure 12. Photomicrograph, sample 15, XPL light, field of view 2.7mm, heterogeneous texture, igneous rock fragment in the center of the image. Photomicrograph, sample 16, XPL light, field of view 2.7mm, heterogeneous texture. Glaze consisting of two layers of silicate melt and a mixture of melts with crushed quartz. Fragment of metamorphic rock and calcite mineral in the center of the image.

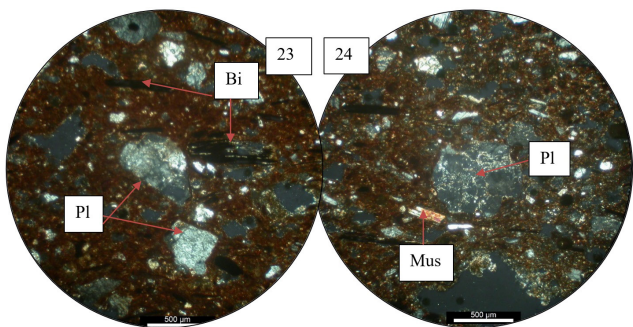
نمونه مورد مطالعه (شماره ۹)، دارای بافت سیلنتی ناهمگن و خمیره ای غیر کربناته می باشد که اجزاء سازنده خمیره آن شامل: کوارتز، کلسیت، اکسیدهای آهن دار و موسکویت است. اندازه قطعات موجود در خمیره کمتر از ۰/۵ میلی متر است. کانی کوارتز با فراوانی ۱۰ درصد بیشترین تراکم را در خمیره دارد. این کانی به دو فرم فنوکریست و پلی کریستال و با حاشیه زاویه دار تا نیمه گرد شده در خمیره وجود دارد. کانی کلسیت بیشتر به صورت قطعات درشت در خمیره دیده می شود و در حدود ۲ درصد حجم نمونه را تشکیل می دهد. در خمیره، اکسیدهای آهن دار به رنگ قرمز تا قهوه ای تیره و به تعداد بسیار محدود نیز کانی موسکویت ریز دانه دیده می شود. فضای خالی محدودی به شکل دایره تا بیضی در خمیره سفال همگن آن قابل تشخیص است (شکل ۱۳).

بافت شاخص در آن (پرتیت) که مخصوص سنگ های گرانیت آکالن است دیده می شود. کانی میکا (بیوتیت) در این نمونه به علت حرارت ایجاد شده، اما در هنگام پخت سفال، کاملاً از بین رفته و تنها اسکلت آن باقی مانده است. نوع موسکویت آن تراکم کمی در خمیره دارد. اکسیدهای آهن دار هم به رنگ قرمز- قهوه ای تا تیره در خمیره مشخص است. خمیره سفال ناهمگن و مختلف اندازه است و فضاهای خالی فراوانی به شکل های مختلف در خمیره دیده می شود. به نظر می رسد که در این نمونه از سنگ آذرین (گرانیت) به عنوان شاموت و پُر کننده استفاده شده است (شکل ۱۶).



شکل ۱۵. فتومیکروگراف، نمونه ۲۱، نور XPL، طول میدان دید 2.7mm، بافت سیلنی ناهمگن. کانی کوارتز، قطعه سنگ دگرگونی و لعاب دو لایه در تصویر دیده می شود. فتومیکروگراف، نمونه ۲۲، نور XPL، طول میدان دید 2.7mm، بافت سیلنی ناهمگن. کوارتز پلی کریستال و کانی بیوتیت سوخته در مرکز تصویر.

Figure 15. Photomicrograph, sample 21, XPL light, field of view 2.7mm, heterogeneous silty texture. Quartz mineral, metamorphic rock fragment and two-layer glaze are visible in the image. Photomicrograph, sample 22, XPL light, field of view 2.7mm, heterogeneous silty texture. Polycrystalline quartz and burnt biotite mineral in the center of the image.

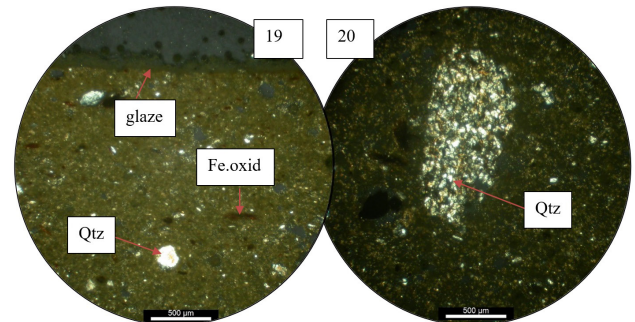


شکل ۱۶. فتومیکروگراف، نمونه ۲۳، نور XPL، طول میدان دید 2.7mm، بافت ناهمگن. کانی بیوتیت و پلاژیوکلاز در مرکز تصویر. فتومیکروگراف، نمونه ۲۴، نور XPL، طول میدان دید 2.7mm، بافت ناهمگن. کانی موسکویت و پلاژیوکلاز در مرکز تصویر.

Figure 16. Photomicrograph, sample 23, XPL light, field of view 2.7mm, heterogeneous texture. Minerals biotite and plagioclase in the center of the image. Photomicrograph, sample 24, XPL light, field of view 2.7mm, heterogeneous texture. Minerals muscovite and plagioclase in the center of the image.

۴. بحث در نتایج

بر اساس نتایج آزمایش پتروگرافی ۱۲ قطعه سفال لعابدار محوطه معبد آناهیتا مشخص شد که سفال های مورد مطالعه از دیدگاه بافت یا



شکل ۱۴. فتومیکروگراف، نمونه ۱۹، نور XPL، طول میدان دید 2.7mm، بافت سیلنی. قطعه سنگی بزرگ متشکل از کانی کوارتز در شماره ۲۰ همراه با کانی کوارتز و اکسید آهن در شماره ۱۹. لایه لعاب نازک در بالای تصویر دیده می شود. فتومیکروگراف، نمونه ۲۰، نور XPL، طول میدان دید 2.7mm، بافت سیلنی. کوارتز پلی کریستال در مرکز تصویر.

Figure 14. Photomicrograph, sample 19, XPL light, field of view 2.7mm, silty texture. Large piece of rock consisting of quartz mineral in number 20 with quartz mineral and iron oxide in number 19. Thin glaze layer is visible at the top of the image. Photomicrograph, sample 20, XPL light, field of view 2.7mm, silty texture. Polycrystalline quartz in the center of the image.

نمونه مورد مطالعه (شماره ۱۱) حاوی کانی های کوارتز، قطعات سنگ دگرگونی، کلسیت و اکسید آهن در خمیره سفال است. کوارتز با فراوانی ۲۰ درصد بیشترین تراکم را در خمیره دارد. این کانی به دو فرم فنوکریست و پلی کریستال و با حاشیه زاویه دار تا نیمه گرد در خمیره مشاهده می شود. درصد بالای کوارتز که در مقاطع پتروگرافی مشاهده می شود، احتمال استفاده از پُرکننده های شن و ماسه برای کاهش میزان انقباض گل سفالگری در هنگام خشک شدن و جلوگیری از ترک خوردن بدنه سفالینه ها را افزایش می دهد، ضمن آن که حضور کوارتز موجب افزایش سختی و دوام و استحکام بدنه سفالینه ها نیز شده است (باتر و سراجی، ۱۴۰۱: ۶۰). سنگ دگرگونی دیگر سازنده موجود در خمیره است که به صورت قطعات نسبتاً درشت در خمیره دیده می شود. کلسیت در این نمونه بسیار محدود و بیشتر به صورت ترکیب با خمیره است که نوع فنوکریست آن نیز به میزان کمتری قابل تشخیص است. سفال دارای بافتی سیلنی ناهمگن و خمیره ای غیر کربناته است و در خمیره همگن آن، فضاهای خالی محدودی به شکل دایره و بیضی دیده می شود. در حاشیه نمونه، لایه لعاب قرار دارد که متشکل از دو لایه است. لایه بیرونی آن شیشه ای و لایه زیرین ترکیبی از کوارتز ریز همراه با مذاب سیلیسی است که مستقیماً بر روی بدنه سفال قرار دارد. ضخامت لعاب در حدود ۲۰۰ میکرون می باشد (شکل ۱۵).

نمونه مورد مطالعه (شماره ۱۲) یک سفال با بافت ناهمگن (پورفیری) و درشت دانه و غیر کربناته است که اندازه اجزاء موجود در خمیره به ۲ میلی متر می رسد. کانی کوارتز و پلاژیوکلاز (پرتیت)، کلسیت، بیوتیت و اکسیدهای آهن دار سازنده های اصلی موجود در خمیره است. کوارتز با فراوانی ۲۰ درصد به صورت تک بلور و پلی کریستال با حاشیه زاویه دار تا نیمه گرد دیده می شود. پلاژیوکلاز در این نمونه اغلب به صورت درشت دانه است و نوعی

فابریک (Texture) شامل دو دسته اصلی بافت پورفیری و بافت ریز دانه یا سیلتی هستند. خاستگاه زمین شناسی مواد خام گل سفال، عمدتاً خاک‌های رسی سیلتی یا ماسه‌ای از برونزدهای طبیعی در رسوبات آبرفتی و خاک‌ها است. لذا پژوهشگران معمولاً به معادن، برونزدهای وسیع، محیط ژئومورفولوژیکی، خاک‌های رسی سیلتی-ماسه‌ای در رسوبات هولوسین آبرفتی و اراضی گسترده کشاورزی توجه نشان می‌دهند و با تحلیل اندازه دانه‌ها در بافت سفال، آنها را به سه دسته اصلی تقسیم بندی می‌کند: ۱. شن (اندازه 2 میلی متر)، ۲. ماسه ($0.06-2$ میلی متر) و ۳. گل که شامل دو دسته سیلت ($0.04-0.06$ میلی متر) و گل رس (0.04 میلی متر) است (Montana, 2020: 9-14). طبق نتایج مطالعه نمونه‌ها اجزاء پرکننده براساس منشأ به دو گروه: ۱. با منشأ آذرین یا متامورفیک شامل قطعات: کوارتز، فلدسپات، فلدسپات پلاژیوکلاز، پیروکسن و به ندرت میکا؛ ۲. با منشأ رسوبی شامل قطعات دولومیت، آهک میکرایتی، سیلتستون، آهک فسیل دار به ندرت ماسه سنگ تقسیم نمود. در نمونه‌هایی که میکا زرد رنگ است، می‌تواند نشان‌دهنده درجه حرارت بالای ۹۰۰ درجه سانتی‌گراد دارد (بخت‌آور و همکاران، ۱۴۰۰: ۱۶۲، ۱۷۰). می‌توان گفت که غالب سفال‌ها از کیفیت ساخت مناسبی برخوردار هستند و یک شیوه نسبتاً یکسانی برای ساخت آنها به کار رفته است. شواهدی برای انتخاب تمندی از بین خاک رس‌های موجود برای تهیه خمیر سفال وجود دارد، زیرا سفالگران درصدد دستیابی به خمیر گل سفالی هستند که برای قالب‌گیری و پخت در کوره مناسب باشد (Hein & Kilikoglou, 2017: 567). لذا در خاک‌های رسی آهک‌دار (کلیستی) که بیشتر از ۱۵ درصد اکسید کلسیم دارند، بایستی دمای پختی بالاتر از ۸۰۰ درجه سانتی‌گراد برای تولید چنین سفال‌هایی موجود باشد اما سفال‌هایی که از خاک رسی غیر کلیستی ساخته می‌شوند به طور معمول در دمای زیر ۸۰۰ درجه سانتی‌گراد پخته می‌شوند (Maniatis and Tite, 1981: 75).

یکی از کانی‌های شناسایی شده در ساختار بدنه تمامی سفالینه‌های مورد مطالعه، کوارتز است که حضور این کانی تأثیرات عمده‌ای در تغییرات کانی‌شناسانه سفال در مرحله پخت دارد. درصد بالای کوارتز که در مقاطع پتروگرافی مشاهده می‌شود، احتمال استفاده از پرکننده‌های شن و ماسه برای کاهش میزان انقباض گل سفال‌گری در هنگام خشک شدن و جلوگیری از ترک خوردن بدنه سفالینه‌ها را افزایش می‌دهد، ضمن آنکه حضور کوارتز موجب افزایش سختی و دوام و استحکام بدنه سفالینه‌ها نیز شده است (باتر و سراجی، ۱۴۰۱: ۵۳ و ۶۰). البته کوارتز به عنوان یک جزء طبیعی از شن و ماسه، اغلب به طور طبیعی در خاک رس وجود دارد. بنابراین تعیین استفاده از کوارتز (شن و ماسه) به عنوان ماده‌ای که عمدتاً به آن اضافه شده است،

آسان نیست (Livingstone Smith, 2001: 142; Klein et al, 2004: 344). بنابراین کوارتز (Quartz) یکی از کانی‌های اصلی است که در تمامی مقاطع نازک تهیه شده از نمونه‌های سفال مورد مطالعه مشاهده شده است. این کانی که به شکل ذرات کاملاً کروی تا بلورهای تیز و زاویه‌دار مشاهده می‌شود، پراکندگی و اندازه ذرات آن در تمام بافت بدنه نمونه‌ها، تقریباً یکسان است. ساختار کوارتز نیز از اهمیت ویژه‌ای برخوردار بوده و به عنوان مثال، کوارتز با ساختار کاملاً همگن نشان می‌دهد که منشأ آنها به عنوان بخشی از سنگ‌های آتشفشانی بوده است. این کوارتزها با توجه به ساختار زمین‌شناسی منطقه و اندازه آنها عمدتاً از اجزای خاک هستند. همچنین ممکن است نشانه‌های آشکاری از تنش مکانیکی را به دلیل فشار تجربه شده در هنگام تشکیل سنگ‌های دگرگونی مانند شیست نشان دهند. وجود دانه‌های کوارتز به این شکل، در بدنه سفال حاکی از آن است که احتمالاً از ماسه سیلیسی خرد شده یا شن خرد و الک شده، در بدنه این سفال‌ها به عنوان پرکننده استفاده شده است (Readerer, 2004: 146-147). علاوه بر این امکان دارد که وجود این ذرات کوارتز، محصول هوازدگی و خرد شدن سنگ مادر مولد خاک مورد استفاده در ساخت بدنه سفالینه‌ها باشد (نورزهی و همکاران، ۱۳۹۵: ۹). از سوی دیگر، بررسی مقاطع نمونه‌های سفال نشان داد که در تمامی آنها، پرکننده به کار رفته در زمینه رسی، معدنی است و شواهدی از پرکننده‌های آلی در ساختار آنها و بدنه سفالینه‌ها در مشاهدات ماکروسکوپی آنها نیز دیده نمی‌شود. بنابراین، به نظر می‌رسد که غالب پرکننده مورد استفاده در بدنه این سفال‌ها، ذرات کوارتز بوده است که پرکننده‌های زمینه رسی در بیشتر نمونه‌ها را تشکیل می‌دهد. به کارگیری ذرات کوارتز ریزدانه و گوشه‌دار همراه با کانی‌های رسی در ترکیب با آب برای تهیه گل سفال‌گری و سپس ورز دادن این توده گل به مدت طولانی، موجب ایجاد بافتی متراکم، منسجم و همگن در بدنه سفالینه‌ها شده است، که نتیجه آن پیوستگی بیشتر اجزای بافت تشکیل دهنده بدنه سفالینه‌ها به یکدیگر است (نوغانی و امامی، ۱۳۹۰: ۲۲. باتر و سراجی، ۱۴۰۱: ۵۹-۵۸). کوارتز حاشیه‌زاویه‌دار تا نیمه‌گرد شده دارند. حاشیه‌زاویه‌دار تا نیمه‌گرد شده، حکایت از جابه‌جایی کلیه اجزای سازنده از منشأ اولیه و یا اضافه شدن این مواد به صورت مواد کمکی می‌باشند (بخت‌آور و همکاران، ۱۴۰۰: ۱۶۹). شواهد نشان می‌دهد که کوارتز در نمونه‌های لعابدار سایر محوطه‌ها نیز نقشی پررنگ داشته است برای مثال، در تمام نمونه‌های لعابدار اسلامی مورد مطالعه در شهر بلقیس اسفراین نیز، کانی کوارتز دیده می‌شود (عباس‌آباد عربی و همکاران، ۱۳۹۷: ۱۶۲). همچنین در ارتباط با مواد متفاوت پرکننده بافت سفال سلادن در جزیره کیش نیز باید به قطعات ریز و درشت کوارتز اشاره کرد (امامی و همکاران، ۱۳۹۸: ۹).

بربرلی و رابی به طور تجربی نشان دادند که تجزیه بالای مسکویت در حضور کوارتز تحت تأثیر اندازه کریستال است (Brearley & Rubie, 1990). کوچکترین کریستالها تمایل زیادی به واکنش با آب دارند و در نتیجه فرایند ذوب افزایش می یابد، در حالی که بلورهای بزرگ مسکوویت در حالت مذاب به میزان محدودی تشکیل می شود. این ممکن است دلیلی قابل توجه برای شیشه ای شدن ماتریکس باشد، در حالیکه دانه های بزرگ مسکوویت (تا اندازه چند میلی متر) هنوز ذوب قابل توجهی را نشان نداده باشند (Cultrone et al. 2001: 631). کانی موسکوویت به عنوان یک کانی با خصوصیات ترموبارومتري (تعیین کننده حوزه حرارتی و پایداری مشخص) مشاهده می گردد. این فاز در درجه حرارت های متعارف و طبیعی در زیر نور پلاریزان با رنگ زرد-نارنجی و در درجه حرارت های بالاتر از ۹۵۰ درجه سانتی گراد (مانند نمونه شماره ۱۱. شکل ۱۰) با رنگ زرد کم رنگ یا سفید با سطح منشوری مشاهده می گردد (Emami and Trettin, 2010: 5). این تغییر رنگ مشخص کننده تغییر شرایط محیط پخت سفال و ایجاد درجه حرارت های بالاتر از ۹۰۰ درجه سانتی گراد است (Spataro, 2011: 6). امامی و همکاران، (۱۳۹۸: ۹).

کانی هماتیت با ترکیب شیمیایی Fe_2O_3 و طیف رنگی قهوه ای، قرمز، خاکستری و سیاه به سه دلیل ممکن است در بافت سفال دیده شود. این کانی یا به صورت یک فاز اکسیدی در درجه حرارت پایین که بیشتر محصول فرایند اکسیداسیون در شرایط دفن است، به وجود آمده و یا به صورت یک کانی ثانویه در درجه حرارت بالا در محیط اکسیداسیون در کوره پخت سفال تولید شده است و یا به صورت ذرات هماتیت در خاک رس وجود داشته است. وجود ذرات پراکنده اکسید آهن در داخل تصاویر مقاطع، حاکی از وجود بارز این ماده در ترکیب خاک محیط پیرامون یا منشاء سفال بوده و از داخل خاک رس مورد استفاده، برای سفالگری طی فرایند پخت آزاد شده و به صورت هماتیت شناسایی می گردد (باتر و سراجی، ۱۴۰۱: ۵۹-۵۳).

کانی های گروه میکا مانند مسکویت و بیوتیت در خاک همدان و منطقه زاگرس مرکزی وجود دارد و حضور چنین کانی هایی در ترکیب این سفال ها می تواند ناشی از بومی بودن خاک مورد استفاده در تهیه سفال ها باشند (نوغانی و امامی، ۱۳۹۰: ۲۲). همچنین حضور بیوتیت در ساختار نمونه ها، خود موجب آزاد نمودن آهن در داخل بافت سفال شده و رنگ خمیره سفال را قرمز رنگ می نماید. بررسی ذرات بیوتیت در مقاطع با بزرگ نمایی بالا، نشان دهنده پیوستگی و انسجام بافت زمینه و ذرات بیوتیت است که احتمالاً به دلیل واکنش حاشیه ذرات با بافت بدنه است. کارکرد اصلی و مهم کانی های فیلسیلیکاتی، نظیر مسکوویت و بیوتیت، در بدنه آثار سفالی، با توجه به پلاستیسیته کم آنها، همراهی این فازها با کانی های رسی

موجود در بدنه سفال و ممانعت از انقباض بیش از حد بدنه در هنگام خشک شدن آنهاست. با توجه به شباهتی که میان ساختار کانی های مسکوویت و بیوتیت با کانی های رسی وجود دارد، این کانی ها به آسانی در ترکیب بدنه سفال ها، جای گرفته و سپس با آزاد کردن سیلیکا و آلومینا از دمای ۸۵۰ درجه سانتی گراد در هنگام پخت سفال در کوره به جوانه زنی محصولات جدید و فرایند شیشه ای شدن بدنه سفالینه ها کمک شایانی می نمایند (باتر و سراجی، ۱۴۰۱: ۶۰-۵۹).

بافت ماتریکس قرمز رنگ به دو دلیل در چنین ساختاری به وجود می آید: ۱. یا در اثر استفاده از ماده خام دارای درصد آهن بالا. ۲. به واسطه اکسید شدن آهن موجود در خاک رس در درجه حرارت های بالا. (امامی و همکاران، ۱۳۹۸: ۹). حضور بافت قرمز رنگ حاکی از اکسید شدن و یا تجمع آهن است. به طور کلی رنگ قرمز در سفال ها زمانی دیده می شود که از اکسیدهای آهن مثل هماتیت برای خمیر سفال استفاده شده و دمای کوره در هوایی اکسیده بدان رسیده است. در حالیکه قطعات خاکستری تیره به دلیل پخت کوره با هوایی ثابت اما رو به کاهش به وجود آمده است (Enea-Giurgiu et al, 2019: 11). همچنین در شرایط مختلف اکسیداسیون و فرایند مولکولی، حضور هماتیت ها در دمای ۸۰۰ درجه سانتی گراد و اسپینل و هرسینیت (hercynite) یک ماده کانی سیاه رنگ متشکل از اکسید آهن و آلومینیوم که در رسوبات رسی غنی از آهن دگرگون شده و همچنین صخره های اولترامافیک دیده می شود) در دمای بالای ۸۵۰ درجه سانتی گراد و آهن فلزی در بالای ۱۰۵۰ درجه سانتی گراد در هسته خمیر سفال دیده می شود. حداقل تا بالای ۷۰۰ درجه سانتی گراد، کریستالی شدن یا تبلور اسپینل (یک ماده معدنی شیشه ای سخت که به صورت بلورهای هشت ضلعی با رنگ متغیر و عمدتاً از اکسیدهای منیزیم و آلومینیوم تشکیل شده است)، تشکیل آهن فلزی در ۹۵۰ درجه سانتی گراد و مواد سربی سیاه آن تا نهایت درجه حرارت کوره باقی می ماند (Maritan et al, 2006: 13).

از دیگر کانی های مهمی که در مقاطع نازک بیشتر نمونه ها مشاهده شد، پلاژیوکلاز است. پلاژیوکلازها در سیستم تری کلینیک متبلور و در ۸۰۰ درجه سانتی گراد تغییر شکل می یابند. کانی های گروه میکا مانند مسکویت و بیوتیت که در ماتریکس تمامی نمونه ها مشاهده می شود، می توانند در سنگ های رسی برحسب شرایط تشکیل وجود داشته باشند. آهن موجود در میکاها سبب تیره رنگ شدن رس ها هنگام پخت می گردد. از سوی دیگر، میکا به دلیل داشتن قلیا در ترکیب شیمیایی خود به عنوان گدازآور نیز عمل کرده و باعث پایین آمدن دمای پخت بدنه سفالینه ها می شود (پایدار، ۱۳۸۴: ۲۰۸؛ نورزهی و همکاران، ۱۳۹۵: ۱۱-۹).

همچنین حضور فازهای کربناته در ماتریکس سفال، موجب بیشترین تغییر و تبادل در فازهای بلورین بافت سفالینه ها در حین فرایند پخت

می‌شود. به‌طوریکه این فازها در دمایی حدود ۷۰۰-۶۵۰ درجه سانتیگراد در ماتریکس سفال ناپایدار شده و تخریب می‌گردند. تجزیه فاز کلسیت در دمایی در حدود ۶۵۰ درجه سانتی‌گراد شروع شده و تقریباً در دمای ۸۰۰-۹۰۰ درجه سانتی‌گراد پایان می‌گیرد؛ بنابراین، نقش کربنات کلسیم در تعیین حرارت و دمای پخت سفالینه‌های تاریخی قابل توجه است. چون کربنات کلسیم در ماتریکس‌های رسی در دمای ۶۵۰ تا ۷۰۰ درجه سانتی‌گراد شروع به تجزیه شدن کرده و به آهک تبدیل می‌شود و این فرآیند در دمای ۸۰۰ درجه سانتی‌گراد بیشتر شده و تقریباً در دمای ۹۰۰ درجه سانتی‌گراد، فاز کلسیت باقی‌مانده از بین می‌رود. بنابراین، در صورت وجود کلسیت در ساختار سفالینه‌ها می‌توان احتمال داد که دمای پخت آنها در حدود ۸۵۰ درجه سانتی‌گراد باشد (امامی و نوغانی، ۱۳۹۲: ۵۷). در واقع، در ۸۰۰ درجه سانتی‌گراد (شرایطی که ذوب بسیار محدود است) لبه‌های سیلیکات کلسیم (و منیزیم) تشکیل شده در اطراف کلسیت یا دولومیت ۲ تا ۵ میکرومتر ضخامت دارند. بنابراین وجود فیلوسیلیکات‌ها نشان دهنده حرارت پایین ۷۰۰ تا ۹۰۰ درجه سانتی‌گراد برای فاز ایلیت (یا مسکوویت) دهیدروکسیله شده است. دولومیت در دمای ۷۰۰ درجه سانتی‌گراد ناپدید می‌شود، در حالی که کلسیت هنوز در دمای ۸۰۰ درجه سانتی‌گراد وجود دارد (Caltrune et al, 2001: 633). تجزیه و تحلیل XRD از سنگ معبد آناهیتا نیز نشان داد که کلسیت (CaCO_3) فاز اصلی شناسایی شده در تمام نمونه‌ها است. کوارتز (SiO_2) به عنوان فاز فرعی در هر پنج نمونه معبد شناسایی شد، در حالی که دولومیت ($\text{CaMg}(\text{CO}_3)_2$) در نمونه KN-1 و گچ ($\text{CaSO}_4 \cdot 2\text{H}_2\text{O}$) در نمونه‌های KN-7 و KN-8 مورد شناسایی قرار گرفت. تجزیه و تحلیل نمونه‌های سنگ از معادن نشان داد که مانند نمونه‌های معبد، کلسیت به عنوان فاز اصلی و کوارتز به عنوان فاز فرعی در ترکیب همه سنگ‌ها وجود دارد. علاوه بر این، در برخی نمونه‌ها از دولومیت، گچ و ایلیت (مسکوویت) یافت شده است (Shekofteh et al., 2020:10).

۵. نتیجه‌گیری

از مطالعه پتروگرافی سفال‌های دوران اسلامی میانه تا متأخر محوطه معبد آناهیتای کنگاور در راستای پرسش‌های مطرح شده، نتایج زیر به دست آمده است.

در کلیه نمونه‌های مورد مطالعه، کانی کوارتز و ترکیبات آهن‌دار مشاهده می‌گردد. کوارتز موجود به دو فرم فنوکریست (تک بلور) و پلی کریستال می‌باشد. این کانی با حاشیه زاویه دار تا نیمه گرد شده در خمیره سفال‌ها دیده می‌شود. البته همانطور که در گزارش آمده است، کوارتز فنوکریست فراوانی بسیار بیشتری نسبت به کوارتز پلی کریستال دارد. کانی کلسیت در برخی نمونه‌ها دیده می‌شود و در برخی دیگر وجود ندارد. وجود کانی کلسیت در سفال نشان دهنده دمای پخت کمتر از ۸۰۰ درجه سانتی‌گراد

می‌باشد و در سفال‌های فاقد کلسیت یا کانی‌های کربناته، دمای پخت بیش از ۸۰۰ درجه سانتی‌گراد است. از طرفی تجزیه و تحلیل XRD از سنگ معبد آناهیتا نیز نشان داد که کلسیت فاز اصلی شناسایی شده در تمام نمونه‌ها است. کوارتز نیز به عنوان فاز فرعی در هر پنج نمونه معبد شناسایی شده است. بنابراین از نظر ساختار شناسی شباهت بین نمونه‌های مورد مطالعه با سنگ‌های موجود در محوطه دارد و می‌تواند بیانگر ساخت سفال‌ها در محوطه باشد. همچنین هیچ تفاوت معناداری در ساختارشناسی سفال‌های اسلامی میانه با سفال‌های اسلامی متأخر مشاهده نشد و تنها تفاوت آنها در همان نوع لعاب و نقش اندازی نقوش آنها بوده است. در تعدادی از نمونه‌ها کانی پلاژیوکلاز، میکا، پیروکسن و آمفیبول دیده می‌شود و در برخی نیز این کانی‌ها وجود ندارد. در حاشیه تمام نمونه‌ها لایه لعاب دیده می‌شود. این لایه لعاب در نمونه‌هایی مانند شماره ۱ و ۲ نازک و با ترکیب مذاب سیلیکاته مستقیماً بر روی بدنه قرار دارد. در نمونه‌هایی مانند شماره ۶ و ۸، این لایه لعاب ضخیم‌تر بوده و متشکل از دو لایه می‌باشد. لایه بیرونی که ترکیب مذاب سیلیکاته دارد و لایه زیرین که ترکیبی از مذاب سیلیکاته همراه با قطعات کوارتز خرد شده است. در بیشتر نمونه‌ها دارای بافت ناهمگن، لعاب استفاده شده، دو لایه و ضخیم می‌باشد. در حالی که در نمونه‌های دارای بافت ریز، لعاب به کار رفته نازک و ترکیب مذاب سیلیکاته دارد. از نظر بافت یا فابریک، نمونه‌ها به دو گروه سفال‌های دارای بافت ریز دانه (سیلتی) و سفال‌های دارای بافت درشت (ناهمگن) تقسیم می‌شوند. به نظر می‌رسد در سفال‌های با بافت ناهمگن از قطعات سنگ آذرین (گرانیت) به عنوان شاموت استفاده شده است. در این نمونه‌ها قطعات درشت کانی کوارتز، پلاژیوکلاز، میکا و آمفیبول و پیروکسن به صورت پرکننده در خمیره مشاهده می‌شود. بیوتیت موجود در خمیره این سفال‌ها کاملاً سوخته شده و تنها اسکلت آن باقی مانده است. نمونه‌های دارای بافت سیلتی، دارای کانی‌های کوارتز، کلسیت و ترکیبات آهن‌دار می‌باشند. اندازه اجزاء سازنده در این نمونه‌ها از ۰/۵ میلی‌متر تجاوز نمی‌کند.

سپاسگزاری: نویسندگان مراتب قدردانی را از حمایت‌های بی‌دریغ و کمک فراوان در تنظیم متن مقاله آقای دکتر محمد اقبال چهری عضو هیئت علمی دانشگاه آزاد اسلامی اعلام می‌دارند. همچنین از همکاری آزمایشگاه پتروگرافی پژوهشکده حفاظت و مرمت آثار پژوهشگاه سازمان میراث فرهنگی کشور قدردانی می‌شود.

مشارکت نویسندگان: در مقاله فوق علاوه بر اساتید و همکاران محترم فوق‌الذکر که کمک شایانی در جهت جمع‌آوری اطلاعات و انجام امور آزمایشگاهی کردند. نویسنده اول: بیشترین سهم را در تنظیم مقاله داشته که شامل مطالعه مفاهیم و طراحی مقاله، جمع‌آوری و تحلیل داده‌ها، تهیه نسخه اصلی و تنظیم ساختار مقاله است. نویسنده دوم: پیشنهاد طرح اولیه، مطالعه ثانوی و تعیین منبع برای مطالعه، کمک به تجزیه و تحلیل و تفاسیر نتایج آنالیز، پیگیری امور اداری. نویسنده سوم: هماهنگی اداری جهت آزمایشات و موارد مربوط به امور آزمایشگاهی بوده است.

دسترسی به داده ها و مواد: برای دسترسی به داده ها و مواد می توان با نویسنده اول مقاله از طریق ایمیل ایشان تماس حاصل کرد.

تأمین مالی: این پژوهش هیچ بودجه خارجی و داخلی دریافت نکرده است.
تضاد منافع: نویسندگان اعلام می دارند که هیچ گونه تضاد منافع مرتبط با پژوهش حاضر برای اظهار وجود ندارد».

References

- Abbasabadi Arabi, M., Sedghi, Y., Beheshti, S. I. and Abedi, A. (2018). Petrographic Study of Islamic potteries of Shahr-e Belgheys, Northern Khorasan Province. *Journal of Archaeological Studies*, 10(1), 155-167. [In Persian].
- Abu Dalaf, M. Ibn-M. Kh., (1963). Travelogue of Abu Dalaf in Iran. with comments and research by: Vladimir Minorsky, translated by: Abolfazl Tabataba'i, Tehran: Iran Zamin. (in Persian).
- Abul-Fida, I. Ibn-A., (1960). Calendar of Countries, translated by: Abdul Mohammad Ayati, Tehran: Iranian Foundation for Culture. [In Persian].
- Alibaigi, S., (2017), "Anahita Temple Monument in Kangavar, Kermanshah: A Clue to Solving an Old Problem", *Dabir*, vol. 1, No.4, 8-14.
- Alirezazadeh Nodehi, M., Heydarian, M., Khosrowzadeh, A., (2019). The Lepui Culture and Its Sphere of Influence in the Mountains of Chaharmahal and Bakhtiari. *The First Biennial National Conference on Archaeology and Art History of Iran*, May 1-2, 2019, University of Mazandaran, Gino Publishing, First Edition, 1916-1928. [In Persian].
- alirezazadeh Nodehi, M., Heydarian, M. and Khosrowzadeh, A. (2020). A Comparative Study of Chaharmahal & Bakhtiari Lapui Pottery with North Fars, Based on Petrographic Method. *Archaeological Research of Iran*, 10(24), 7-26. [In Persian]. [doi: 10.22084/nbsh.2020.19781.1991](https://doi.org/10.22084/nbsh.2020.19781.1991)
- Amanollahi, Hamid. (2009). Petrography and its application in the identification of archaeological materials (a case study of stone). *Payam Bastan-e-Shenas*, Year 6, Issue 12: 121-140. [In Persian].
- Azarnoush, M., (1981), "Excavations at Kangavar", *Archäologische Mitteilungen aus Iran*, Band 14, 69- 94.
- Azarnoush, M., (2009), "New Evidence on the chronology of The Anahita Temple," *Iranica Antiqua*, XLIV, 393-402.
- Baghsheikhi, M., Khosravi, L., Beheshti, S. I. (2024). Mineralogical Petrography of Pottery from Guriye Area, Ilam Province, *Ancient Iranian Studies*, Vol. 3 (10): 89-107. [In Persian].
- Bakhtavar, Z., Shateri, M., Khosrowzadeh, A., (2021). The Petrographic Analysis of Thin Sections on the Non-Glazed Painted Pottery Ceramics of Islamic Era in Qeshm Island, *Pazhobesh-HA- YE Bastanshenasi Iran*11 (28), 153-172. [In Persian].
- Bater M, Saberniya M, Ahmadi H. (2017). Identification of Materials and Colorants in Decorative Mosaic Tiles of Musalla Historical Building in Mashhad. *JRA*. 3(1), 29-46. [In Persian]. [doi:10.29252/jra.3.1.29](https://doi.org/10.29252/jra.3.1.29)
- Bater M, Serajii F. (2022). Studies on the Body Structure of the Islam Period Slip-painted Pottery Shards of Sistan. *JRA*. 8(2), 47-64. [In Persian]. [doi:10.52547/jra.8.2.47](https://doi.org/10.52547/jra.8.2.47)
- Binder, H., (1991). *Henry Binder's Travelogue (Kurdistan, Mesopotamia and Iran)*. translated by: Karamet Allah Afsar, Tehran: Ysawali Cultural Center. [In Persian].
- Blücher, W., (1984). "Blücher's Travelogue or the Wanderings of Time in Iran". translated by: Keikavos Jahandari, Tehran: Kharazmi. [In Persian].
- Brearley, A.J. and Rubie, D.C., (1990). Effects of H₂O on the disequilibrium breakdown of muscovite+ quartz. *Journal of Petrology*, 31(4), pp.925-956.
- Chehri. M.E. Masouri Nasafchi, Ali, 2024. Characterization of the pottery structure of the first millennium BC in Pila Qala Rudbar based on petrographic results, *Pazhobesh- HA- YE Bastanshenasi Iran*13 (39), 89-118. [In Persian].
- Cultrone G, Rodriguez-Navarro C, Sebastian E, Cazalla O, De La Torre MJ., (2001). Carbonate and silicate phase reactions during ceramic firing. *European Journal of Mineralogy*. May 1;13(3):621-634.
- Daghmehchi, M. H., Omrani, M., Emami, and J. Nokandeh., (2016). Mineralogical and thermochemical characteristics of the Hellenistic ceramics and raw clay from Qizlar Qal'eh (northeastern Iran), *Materials Characterization*, 120, 143-151. [In Persian].
- Dieulafoy, J., (1989). *Iran, Caldeh and Susa*. translated by: Ali Mohammad Farhoushi, 4th edition, Tehran: University of Tehran. [In Persian].
- Emami M, Trettin R., (2012). Mineralogical and chemical investigations on the ceramic technology in Çoğā Zambil, (Iran, 1250 BC). *Periodico di Mineralogia*; 81(3):359-377. [In Persian]
- Emami, M.A., Khanjari, R., Naghavi, S., (2019). Material Characteristics and Mineralogy of Celadons from the Ancient Port of Harireh, Kish Island; Trace of Maritime Trade from China to Persian Gulf. *Journal of Archaeological Studies* 11(1): 1-17. [In Persian]. <https://doi.org/10.22059/jarcs.2019.71075>
- Emami, M.A., Noghani, S., (2013). An Investigation of re-Carbonation Process and Formation of Secondary Calcite in the Texture of Ancient Potteries by Petrographical Method, *Scientific Journal of Maremat & Me'mari-e Iran* 3(5): 55-67. [In Persian].
- Emami, S. M., and R., Trettin., (2010). Phase Generating Processes in Ancient Ceramic Matrices Through Microstructure Investigation with High Resolution Microscopy Methods, *Journal of c Advanced Microscopy Research*, 5(3), 181-189. [In Persian]
- Enea-Giurgiu, A. Ionescu, C. Hoeck, V. Tămaș, T. Roman. C. (2019). An archaeometric study of early copper age pottery from a cave in Romania. *Clay Mineral*, Cambridge university press, 1-14.
- Fahruri, G., (2009). *Pottery of the Islamic World in the Tariq Rajab Museum in Kuwait*. translated by: Mahnaz Shayestefar, Tehran: Institute of Islamic Art Studies and Negara Islamic Art Research Center. [In Persian].
- Fargher, L., (2007). A Microscopic View of Ceramic Production: An Analysis of Thin Sections from Monte. *Latin American Antiquity*, Vol. 18, No. 3: Pp. 313-332.
- Flandin, E., (1974). *Flandin's Travelogue to Iran*. translated by: Hossein Noorsadeghi, third edition, Tehran: Eshraghi. [In Persian].
- Girshman, R., (1957). *Iran from the Beginning to Islam*. translated by: Mohammad Moein, Tehran: Book Translation and Publishing Company. [In Persian].
- Godard, A., Godard, Y. & Siro, M., (1992). *Monuments of Iran 1-2*. Translated by: Abolhasan Saroghad Moghaddam, Mashhad: Astan Quds Razavi. [In Persian].
- Goldberg, P., Holliday, V.T. and Ferring, C.R. eds., (2001). *Earth sciences and archaeology*. Springer Science & Business Media, New

- York.
- Haji-Norouzi, F, Heydarian, M, Khosrowzadeh, A., (2021). The Study of Middle Chalcolithic Pottery in Chaharmahal and Bakhtiari by Using Petrographic and ICP-OES Analysis. *Journal of Archaeological Studies*, Volume 13, Issue 2, Summer: 178-198. [In Persian].
- Hamavi Baghdadi, Y., (2001). *Mu'jam al-Buldan*. translated by: Alinaghi Monzavi, Tehran: National Cultural Heritage Organization (Research Assistant). [In Persian].
- Hein, A & Kilikoglou, V. (2017). Compositional variability of archaeological ceramics in the eastern Mediterranean and implications for the design of provenance studies. *Journal of Archaeological Science: Reports* 16. 564-572.
- Hekmati, S., (1993). Regional Geography of Kangavar. Bachelor's thesis in the Department of Geography, Supervisor: Dr. Seyed Rahim Moshiri, University of Tehran (unpublished). [In Persian].
- Hertzfeld, E., (2002). *Iran in the Ancient East*. translated by: Homayun Sanatizadeh, Tehran: Institute for Humanities and Cultural Studies. [In Persian].
- Heydari, A. A., (2012). "Spatial Analysis of the Architecture of Anahita Kangavar Temple". *Iranian Islamic City Studies Quarterly, Scientific Research Quarterly of the Culture, Art and Architecture Research Institute of Jihad Daneshgahi*, 2 (7): 73-86. [In Persian].
- Ibn Faqih, (1970). *Abu Bakr ibn Muhammad ibn Ishaq Hamedani, A brief translation of the countries related to the Iranian part*. translated by: H. Masoud, Tehran: Iranian Culture Foundation. [In Persian].
- Ibn Hawqal, (1987). *Ibn Hawqal's Travelogue*. translated by: Ja'far Shoaar, Tehran: Amir Kabir. [In Persian].
- Ibn Khordad beh, (1991). *Al-Mamalek and Al-Masalik*. translated by: Hossein Qara-Chanlu, Tehran: Motarjem publication. [In Persian].
- Ibn Rasteh, (1986). *Al-Alag al-Nafisa*. translated by: Hossein QaraChanlu, Tehran: Amir Kabir. [In Persian].
- Isidore Kh., (2011). *Parthian Stations (the Earliest Written Text of Ancient Iranian Geography), Adaptation with Greek Texts and Translation into Adaptation with Greek Texts and Translation into English and Commentaries, by Wilfred Schaff*. Translated by: Firuz Hassan Aziz, ICOMOS Iran Cultural Institute and Ganjineh Honar Publications. [In Persian].
- Istakhri, Abu-I. I., (1961). *Masalak va Malakami*. edited by: Iraj Afshar, Tehran: Book Translation and Publishing Company. [In Persian].
- Jackson, A. V. W., (1973). *Jackson's Travelogue: Iran in the Past and Present*. translated by: Manouchehr Amiri and Fereydoun Badreh, third edition, Tehran: Baran. [In Persian].
- Kabiri, A., (1980). "The Historical Temple of Kangavar". *Cultural Heritage*, 2: 58-59. (in Persian).
- Kabiri, A., (1992). "Discovery of a Gutter in the Temple of Anahita Kangavar". *Cultural Heritage*, 5: 62-63. [In Persian].
- Kabiri, A., (1995). "Archaeological New Discoveries in the Historical Monument of Anahita Temple (Kangavar)". in: *The collection of articles of the First Congress of the History of Architecture and Urban Planning of Iran, Bam Citadel*, edited by: Bagher Ayatollahzadeh Shirazi, Volume 5, Tehran: Cultural Heritage Organization of the Country: 663-685. [In Persian].
- Kambakhshfard, S., (1968). "Exploration in the Temple of Anahita (Kangavar)". *Historical Studies*, 18: 11-46. [In Persian].
- Kambakhshfard, S., (1971). "Scientific Explorations in Kangavar (Temple of Anahita)". *Archaeology and Art of Iran*, 6: 10-32. [In Persian].
- Kambakhshfard, S., (1972). "Scientific Explorations in Kangavar (Temple of Anahita)". *Archaeology and Art of Iran*, 9 & 10: 2-24. [In Persian].
- Kambakhshfard, S., (1974). "Scientific Explorations in the Temple of Anahita in Kangavar". *Reports of the Second Annual Archaeological Explorations and Research Conference in Iran*, under the supervision of Firouz Bagherzadeh, Tehran: Iranian Archaeological Center: 10-23. [In Persian].
- Kambakhshfard, S., (1989). "Kangavar". in: *The book Cities of Iran*, edited by Mohammad Yousef Kiani, vol. 3, Tehran: Jihad Daneshgahi: 107-151. [In Persian].
- Kambakhshfard, S., (1995). "The Formation of the Anahita Temple in the Context of History". in: *The collection of articles of the First Congress of the History of Architecture and Urban Planning of Iran, Arg-e-Bam*, vol.1, Tehran: National Cultural Heritage Organization: 24-40. [In Persian].
- Kambakhshfard, S., (2007a). *Archaeological Explorations and Research and Architectural Revival of the Temple of Anahita Kangavar and Taqgara*. Volume 1: Forgotten Monuments and Mythological Beliefs, Tehran: Archaeological Research Institute of the Organization of Cultural Heritage, Handicrafts and Tourism. [In Persian].
- Kambakhshfard, S., (2007b). *Archaeological excavations and research and architectural restoration of the Kangavar and Taq-e-Gara Anahita Temple*. Volume 2, Treasures found from excavations, Tehran: Archaeological Research Institute of the Cultural Heritage, Handicrafts and Tourism Organization. [In Persian].
- Khodadoust, J., Mousavi-Haji, S. R., Taghavi, A. & Ali-Yari-Guki, Sh., (2017). "Survey and analytical study of pottery from the Malin area; Bakhzar city (Khorasan Razavi)". *Iranian Archaeological Research*. 7 (13): 157-172. [In Persian].
- Klein M, Jesse F, Kasper HU, Golden A., (2004). Chemical characterization of ancient pottery from sudan by x-ray fluorescence spectrometry (xrf), electron microprobe analyses (empa) and inductively coupled plasma mass spectrometry (ICP-MS). *Archaeometry*. Aug; 46(3):339-356.
- Layard, S. A. H., (1988). *Layard's Travelogue: Early Adventures in Iran*. translated by: Mehrab Amiri, Tehran: Vahid. [In Persian].
- Livingood, A.; Patrick. C. & Cordell, A., (2009). "Point/counter point: the accuracy and Feasibility of digital image techniques in the analysis of ceramic thin section". *Journal of Archaeological Science*, No. 36(3): Pp. 867-872, DOI: [10.1016/j.jas.2008.11.015](https://doi.org/10.1016/j.jas.2008.11.015).
- Luschey, H., (2006). *Ceramics from the Mongol Monument" in: Bisetun; Excavations and Research 1963-1967*, Wolfram Kleiss, Heinz, Luschey and Peter Kalmeyer. translated by: Faramarz Najd-Samii, Tehran: Organization for Cultural Heritage, Handicrafts and Tourism: 333-374. [In Persian].
- Maani, M, Saedi Harsini, M. and chaychi, A. (2019). A Preliminary Report on the Petrographic Analysis of Bakun A Potteries of Fars Province. *Journal of Archaeological Studies*, 11(1), 217-232. [In Persian]. doi: [10.22059/jarcs.2019.71115](https://doi.org/10.22059/jarcs.2019.71115)
- Mahjoor, F., Ebrahiminia, M. & Sedighian, H., (1990). "Archaeological Study of the Pottery of the Islamic Period in the Ancient Site of Nechir Khanlogh-Rey". *Archaeological Studies, University of Tehran*, 3 (2: 4): 173- 192. [In Persian].
- Maniatis, Y, Tite, M.S., (1981). Technological Examination of Neolithic-Bronze Age Pottery from Central and Southeast Europe and from the Near East, *Journal of Archaeological Science*, 8, 59-76.
- Maritan, L, Nodari, L, Mazzoli, C, Milano, A, Russo, U., (2006). Influence of firing conditions on ceramic products: Experimental study on clay rich in organic matter, *Applied Clay Science* 31, 1-15.
- Masjedi-Khak P, Khazaei M, Aarab A, Beheshti S I. (2021). Study of the Early and Middle Bronze Ages Pottery Making in Keldasht Through Petrography. *Parseh J Archaeol Stud*. 5(15),73-93. [In Persian]. doi:[10.30699/PJAS.5.15.73](https://doi.org/10.30699/PJAS.5.15.73)

- Mehryar, M. & Kabiri, A., (2004). *Continuing the excavations in the Anahita Temple of Kangavar, The work of the fourth archaeological group (from 1988 to 2001)*. Tehran: Research Institute of the Cultural Heritage and Tourism Organization. [In Persian].
- Moghaddasi, Abu-A. M. ibn-A., (1982). *Ahsan al-Taqaassim fi Ma'rfa al-Aqalim*. translated by: Ali Naghi Monzavi, Tehran: Iranian Authors and Translators Company. [In Persian].
- Mohammadi, M. & Shabani, M., (2016). "Introduction and Analysis of Islamic Period Pottery from the Zeinoabad-Bahar Site, Hamadan". *Pazhobesh-ha-ye Bastanshenasi Iran*, 11 (6): 135-150. [In Persian]. <https://doi.org/10.22084/nbsh.2016.1744>
- Mohammadifar, Y., (2011). *Parthian Archaeology and Art*. Tehran: Samt Publication [In Persian].
- Montana, G., (2020). Ceramic raw materials: how to recognize them and locate the supply basins- mineralogy, petrography. *Archaeological and Anthropological*. 12: 175. 1-19.
- Mostofi Qazvini, H., (2002). Nuzhat al-Qulub. edited by: Mohammad Dabir Siyaghi, first edition, Qazvin: Hadith Emroz. [In Persian].
- Motarjem, A, Almasi, T., (2014). An Investigation of the Cultural Changes of Kangavar Plain from the Chalcolithic to the Late Bronze Age According to the Settlement Models. *Archaeological Research of Iran*, 3(5), 51-62. [In Persian].
- Naghsineh, A. S.; Hatami, A. & Nikrvan Matin, H., (2014). "Study of Petrography of Iron Age Pottery of Hoto Cave". *Pazhobesh-ha-Ya Bastanshenasi Iran journal*, 3 (5): 63-78, [In Persian].
- Nasser al-Din Shah Qajar, (1993). *Shabriyar Roads: Nasser al-Din Shah's Travelogue to the Shrines*. by: the efforts of Mohammad Reza Abbasi and Parviz Badii, Tehran: Sanai. [In Persian].
- Nikzad, M., (2010). "Evaluation of the Proposals Submitted about the So-Called Temple of Anahita in Kangavar". *Modares Archaeological Research, Tarbiat Modares University*, 2 (3): 249-260. [In Persian].
- Noghani, S and Emami, M, A., (2011). Structural Pattern of Parthian Clinky Pottery: An Archaeometric Study, *Journal of Archaeological Studies* 3(4): 15-34. [In Persian].
- Noghani, S and Emami, M, A., (2011). Archaeometry of Historical Pottery: Necessities and Methods, First Conference on Materials Science and Conservation of Cultural-Historical Monuments. Iranian Institute of Materials and Energy, March 1. 505-524. [In Persian].
- Nourzahi Z, Ajourloo B, B. Kasiri M, Ebrahimi G. (2017). The Archaeo-mineralogy of The Bronze Age Pottery shreds from Kul Tepe of Ajabshir, Eastern Lake Urmia Basin, Iran. *JRA*. 2(2), 1-17. [In Persian]. [doi:10.29252/jra.2.2.1](https://doi.org/10.29252/jra.2.2.1)
- Paydar, H., (2005). *Raw materials used in ceramic industries*. Isfahan: Ghazal Publishing. [In Persian].
- Peterson, S., (2016). Thin-Section Petrography of Ceramic Materials. Translated by Mehdi Razani and Hakimeh Afshari-Nejad, *Journal of Cultural Heritage and Restoration* 4(7): 57-73. [In Persian].
- Qazvini, Z. Ibin-M. Ibin- M., (1994). *Athar al-Bilad and Akebar al-Abbad*. translated by: Jahangir Mirza Qajar, edited by: Mir Hashem Muhaddes, Tehran: Amir Kabir. [In Persian].
- Quinn, P.S. and Burton, M., (2009). Ceramic Petrography and the reconstruction of hunter-gatherer craft technology in late prehistoric Southern California. *Interpreting Silent Artifacts: Petrographic Approaches to Archaeological Ceramics*, pp.267-296.
- Quinn, P.S., (2013). *Ceramic Petrography: The Interpretation of Archaeological Pottery & Related Artefacts in Thin Section*. Archaeopress Publishing Ltd.
- Rahmanabadi, H, Hosseinzadeh, M.M, Mirbagheri, B., (2021). The Management and Planning of Kangavar Geographical Area for Agricultural and Rangeland Uses. *Town and Country Planning*, Volume 13, Issue 1, Spring and Summer, 115-140. [In Persian]. [10.22059/jtcp.2020.297699.670085](https://doi.org/10.22059/jtcp.2020.297699.670085)
- Razani M, Martinez Conejero F, Mansori Isfahani M, Afsharinezhad H. (2017). Preparation of Thin Sections of Porous Materials for Polarizing Microscope Investigation in Archaeometry. *JRA*. 3(2), 45-60. [In Persian].
- Reedy, C.L., (2008). *Thin-section petrography of stone and ceramic cultural materials*. London: Archetype.
- Rezaei, M. & Mohammadi, M., (2019). "Historical and Archaeological Study of the Islamic Andajin site of Hamadan". *Archaeological Studies*, 12 (1): 140-159. [In Persian].
- Rice PM, 1987, *Pottery analysis: a sourcebook*. University of Chicago Press, Chicago.
- Riederer J., (2004). Thin section microscopy applied to the study of archaeological ceramics. *Hyperfine Interactions*. Jun; 154(1-4):143-158.
- Saeedi Harsini, M. R., (2015). "Archaeological Survey of Kangavar Plain in the Chalcolithic Period (Based on Native Pottery)". *Bi-Quarterly Journal of Native Art Studies*, 2 (4): 125-142. [In Persian].
- Salmanzadeh, J., Kavosh, H., Fazeli Nashli, H. and Beheshti, S. I. (2014). Petrographic Examination of Pottery Samples from Tepe Gratziani, Sistan. *Journal of Archaeological Studies*, 6(1), 55-66. [In Persian]. [doi: 10.22059/jarcs.2014.52674](https://doi.org/10.22059/jarcs.2014.52674)
- Sardari, A. and Taheri, M. H. (2018). The Petrography and XRF Analysis of Bakun Pottery Assemblage at Tal-e Mash Karim, Semirom District. *Archaeological Research of Iran*, 7(15), 65-80. [In Persian]. [doi: 10.22084/nbsh.2018.9909.1429](https://doi.org/10.22084/nbsh.2018.9909.1429)
- Schaff, W., (2011). "Adaptation to Greek Texts and Translation into English and Commentaries". in: *The Stations of the Party*, by: Isidore Kharaksi, translated by: Firuz Hassan Aziz, with a eloquent introduction by Dr. Bagher Ayatollahzadeh Shirazi, Tehran: ICOMOS Iran Cultural Institute and Ganjineh Honar Publications. [In Persian].
- Sedghi Y, Beheshti I, Abedi A, Eskandari N, Sabuhi Sani F. (2020). The Study of Petrography of the 4th Millennium B.C. Pottery of the Narjuiyeh in Jiroft. *Parseh J Archaeol Stud*. 4(12), 61-73. [In Persian]. [doi:10.30699/PJAS.4.12.61](https://doi.org/10.30699/PJAS.4.12.61)
- Shekofteh, A., Oudbashi, O., Cultrone, G. and Ansari, M., (2020). Geochemical and petrographic identification of stone quarries used for the construction of the Anahita Temple of Kangavar (West Iran). *Heritage Science*, 8, pp.1-18. <https://doi.org/10.1186/s40494-020-0361-z>
- Shepard AO., (1965). Rio Grande glaze-paint pottery: A test of petrographic analysis. In: Matson FR (ed) *Ceramics and man*. Wenner-Gren Foundation for Anthropological Research, Chicago, pp 62-87.
- Smith, A. Livingstone., (2001). Pottery manufacturing processes: reconstruction and interpretation. *Uan Tabu in the settlement history of the Libyan Sabara* (2001): 113-152.
- Spataro, M., (2011). A comparison of chemical and petrographic analyses of Neolithic pottery from South-eastern Europe, *Journal of Archaeological Science*, 38 (2), 255-269. <https://doi.org/10.1016/j.jas.2010.08.026>
- Stoltman, J, B., (2001). The role of Petrography in the Study of Archaeological Ceramics, in the book: *Earth Sciences and Archaeology*, Edited by Paul Goldberg, Vance T. Holliday, and C. Reid Ferrind, Kluwer Academic/ Plenum Publishers, New York, Poston, Dordrecht, London, Moscow. 297- 326.
- Tavernier, J.-B., (1984). *Tavernier's Travelogue*. translated by: Abu Torab Nouri, edited by: Dr. Hamid Shirvani, fourth edition, Tehran: Sana'i. [In Persian].
- Tohidi, F., (2000). *The Art and Science of Pottery*. Tehran: Samt. [In Persian].
- Vandenberg, L., (2010). *Archaeology of Ancient Iran*. translated by: Issa Behnam, Second Edition, Tehran: University Press

- Center. [In Persian].
- Velayati, R., Nemati-Babaylou, A., Afsharinezhad, H. and Bidgoli, B.J., (2023). Microstructure composition and characterisation of green glazed ceramics in Ujan (NW IRAN); A multianalytical investigation. *Journal of Archaeological Science: Reports*, 47, p.103783. [10.1016/j.jasrep.2022.103783](https://doi.org/10.1016/j.jasrep.2022.103783)
- Wilson Allen, J., (2004). *Islamic Pottery*. translated by: Mahnaz Shayestefar, Tehran: Islamic Art Studies. [In Persian].
- Zarei, M. E. & Shabani, M., (2019). "Study and typological analysis of pottery from the beginning of the Islamic era to the end of the Safavid period in the Hamadan region". *Parseb Journal of Archaeological Studies*, 8(3): 109-126. [In Persian].
- Zarei, M. E., Khaksar, A., Motarjem, A., Amini, F. & Dini, A., (2014). "Review and study of Ilkhanid period pottery obtained from the archaeological excavations of Arzanfod". *Archaeological Studies*, 6 (2): 73-90. [In Persian]. <https://doi.org/10.22059/jarcs.2015.54174>

Rahimi, F.; Kolbadinejad, M. & Mortezaei, M. (2025). Structural analysis of Islamic era glazed pottery in Anahita Kangavar Temple based on petrographic results. *Journal of research on Archaeometry*, 11(1), 412. DOI: 10.61882/jra.2025.11.104